

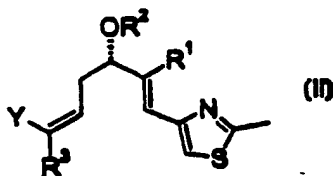
**PCT**  
 WELTORGANISATION FÜR GEISTIGES EIGENTUM  
 Internationales Büro  
 INTERNATIONALE ANMELDUNG VERÖFFENTLICHT NACH DEM VERTRAG ÜBER DIE  
 INTERNATIONALE ZUSAMMENARBEIT AUF DEM GEBIET DES PATENTWESENS (PCT)



(51) Internationale Patentklassifikation <sup>6</sup> : <b>C07D 277/30, 319/06, 417/06, 277/24, 493/04 // (C07D 493/04, 313:00, 303:00)</b>	<b>A1</b>	(11) Internationale Veröffentlichungsnummer: <b>WO 99/03848</b>  (43) Internationales Veröffentlichungsdatum: <b>28. Januar 1999 (28.01.99)</b>
(21) Internationales Aktenzeichen: <b>PCT/EP98/04462</b>  (22) Internationales Anmeldedatum: <b>16. Juli 1998 (16.07.98)</b>  (30) Prioritätsdaten: <b>197 31 316.7            16. Juli 1997 (16.07.97)            DE</b>  (71) Anmelder (für alle Bestimmungsstaaten ausser US): <b>SCHERING AKTIENGESELLSCHAFT [DE/DE]; Müllerstrasse 178, D-13353 Berlin (DE).</b>  (72) Erfinder; und (75) Erfinder/Anmelder (nur für US): <b>MULZER, Johann [DE/AT]; Universitätsstrasse 10/16, A-1090 Wien (AT). MANTOULIDIS, Andreas [DE/AT]; Reithlegasse 1578, A-1190 Wien (AT).</b>	(81) Bestimmungsstaaten: <b>AL, AM, AT, AU, AZ, BA, BB, BG, BR, BY, CA, CH, CN, CU, CZ, DK, EE, ES, FI, GB, GE, GH, GM, HR, HU, ID, IL, IS, JP, KE, KG, KP, KR, KZ, LC, LK, LR, LS, LT, LU, LV, MD, MG, MK, MN, MW, MX, NO, NZ, PL, PT, RO, RU, SD, SE, SG, SI, SK, SL, TJ, TM, TR, TT, UA, UG, US, UZ, VN, YU, ARIPO Patent (GH, GM, KE, LS, MW, SD, SZ, UG, ZW), eurasisches Patent (AM, AZ, BY, KG, KZ, MD, RU, TJ, TM), europäisches Patent (AT, BE, CH, CY, DE, DK, ES, FI, FR, GB, GR, IE, IT, LU, MC, NL, PT, SE), OAPI Patent (BF, BJ, CF, CG, CI, CM, GA, GN, GW, ML, MR, NE, SN, TD, TG).</b>  <b>Veröffentlicht</b> <i>Mit internationalem Recherchenbericht.</i> <i>Vor Ablauf der für Änderungen der Ansprüche zugelassenen Frist; Veröffentlichung wird wiederholt falls Änderungen eintreffen.</i>	

(54) Title: **THIAZOLE DERIVATIVES, METHOD FOR THEIR PRODUCTION AND USE**

(54) Bezeichnung: **THIAZOLDERIVATE, VERFAHREN ZUR HERSTELLUNG UND VERWENDUNG**



(57) Abstract

The invention relates to thiazole derivatives of formula (II), in which  $R^1$  is  $C_1$ - $C_4$  alkyl,  $R^2$  is any protective group with chelating power,  $R^3$  is hydrogen or  $C_1$ - $C_4$  alkyl, and Y is  $CO_2R^4$ ,  $CHO$ ,  $CH=CH_2$  or  $CH_2R^5$ , in which  $R^4$  stands for  $C_1$ - $C_4$  alkyl and an optionally substituted benzyl group,  $R^5$  is halogen, hydroxy, p-toluenesulphonate and  $-OSO_2B$ , and B stands for  $C_1$ - $C_4$  alkyl or  $C_1$ - $C_4$  perfluoroalkyl. These derivatives are produced without diastereomers and are used in the production of epothilone A and epothilone B and their derivatives.

(57) Zusammenfassung

Thiazolderivate der Formel II, worin  $R^1$   $C_1$ - $C_4$ -Alkyl,  $R^2$  eine beliebige chelatierungsfähige Schutzgruppe,  $R^3$  Wasserstoff oder  $C_1$ - $C_4$ -Alkyl, Y  $CO_2R^4$ ,  $CHO$ ,  $CH=CH_2$  oder  $CH_2R^5$ , wobei  $R^4$  für  $C_1$ - $C_4$ -Alkyl und eine gegebenenfalls substituierte Benzylgruppe,  $R^5$  für Halogen, Hydroxy, p-Toluolsulfonat und  $-OSO_2B$  und B für  $C_1$ - $C_4$ -Alkyl oder  $C_1$ - $C_4$ -Perfluoralkyl steht, bedeutet, lassen sich diastereomerenrein herstellen und sind geeignet für die Herstellung von Epothilone A und Epothilone B und deren Derivaten.

# **LEDIGLICH ZUR INFORMATION**

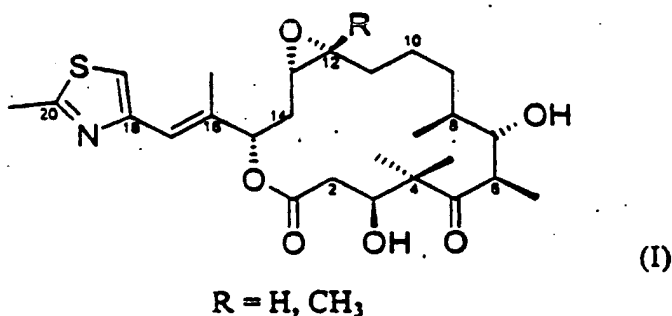
Codes zur Identifizierung von PCT-Vertragsstaaten auf den Kopfbögen der Schriften, die internationale Anmeldungen gemäss dem PCT veröffentlichen.

AL	Albanien	ES	Spanien	LS	Lesotho	SI	Slowenien
AM	Armenien	FI	Finnland	LT	Litauen	SK	Slowakei
AT	Österreich	FR	Frankreich	LU	Luxemburg	SN	Senegal
AU	Australien	GA	Gabun	LV	Lettland	SE	Swasiland
AZ	Aserbaidschan	GB	Verinigtes Königreich	MC	Monaco	TD	Tschad
BA	Bosnien-Herzegowina	GE	Georgien	MD	Republik Moldau	TO	Togo
BB	Barbados	GH	Ghana	MG	Madagaskar	TJ	Tadschikistan
BE	Belgien	GN	Gambia	MK	Die ehemalige jugoslawische Republik Mazedonien	TM	Turkmenistan
BF	Burkina Faso	GR	Griechenland	ML	Mali	TR	Türkei
BG	Bulgarien	HU	Ungarn	MN	Mongolei	TT	Trinidad und Tobago
BJ	Benin	IE	Irland	MR	Mauritanien	UA	Ukraine
BR	Brasilien	IL	Israel	MW	Malawi	UG	Uganda
BY	Belarus	IS	Island	MX	Mexiko	US	Vereinigte Staaten von Amerika
CA	Kanada	IT	Italien	NE	Niger	UZ	Usbekistan
CF	Zentralafrikanische Republik	JP	Japan	NL	Niederlande	VN	Vietnam
CG	Kongo	KE	Kenia	NO	Norwegen	YU	Jugoslawien
CH	Schweiz	KG	Kirgisistan	NZ	Neuseeland	ZW	Zimbabwe
CI	Côte d'Ivoire	KP	Demokratische Volksrepublik Korea	PL	Polen		
CM	Kamerun	KR	Republik Korea	PT	Portugal		
CN	China	KZ	Kasachstan	RO	Rumänien		
CU	Kuba	LC	St. Lucia	RU	Russische Föderation		
CZ	Tschechische Republik	LI	Liechtenstein	SD	Sudan		
DE	Deutschland	LK	Sri Lanka	SE	Schweden		
DK	Dänemark	LR	Liberia	SG	Singapur		
EE	Estland						

# Thiazolderivate, Verfahren zur Herstellung und Verwendung

Die Erfindung betrifft den in den Patentansprüchen gekennzeichneten Gegenstand, daß heißt Thiazolderivate, Verfahren zu ihrer Herstellung und ihre Verwendung zur Herstellung von Epothilon A, Epothilon B oder deren Derivaten.

Es ist bekannt, daß die Naturstoffe Epothilon A ( $R = H$ ) und Epothilon B ( $R = Methyl$ ) (Verbindung I, DE 195 42 986 A1, DE 41 38 042 C2)



10

15

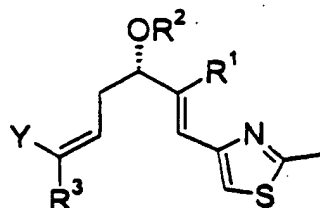
20

25

fungizid und cytotoxisch wirken. Nach Hinweisen für eine in vitro Aktivität gegen Brust- und Darmtumorzelllinien erscheint diese Verbindungsklasse in besonderem Maße interessant für die Entwicklung eines Arzneimittels. Verschiedene Arbeitsgruppen beschäftigen sich daher mit der Synthese dieser makrocyclischen Verbindungen. Die Arbeitsgruppen gehen von unterschiedlichen Bruchstücken des Makrocyclus aus, um die gewünschten Naturstoffe zu synthetisieren. Danishefsky et al plant die Synthese aus drei Bruchstücken C(1)-C(2) + C(3)-C(9) + C(10)-C(20). Bei dem C(10)-C(20)-Bruchstück handelt es sich um ein Thiazolderivat, das in einer 15-stufigen Synthese nicht diastereomerenrein erhalten werden konnte (JOC, 1996, 61, 7998-7999). Diastereomerenreinheit ist jedoch oft entscheidend für die Wirkung und Voraussetzung für die Herstellung eines Arzneimittels.

Es bestand daher die Aufgabe, geeignete Bruchstücke diastereomerenrein bereitzustellen, aus denen sich die makrocyclischen Verbindungen und deren Derivate synthetisieren lassen.

Es wurde nun gefunden, daß die Thiazolderivate der Formel II



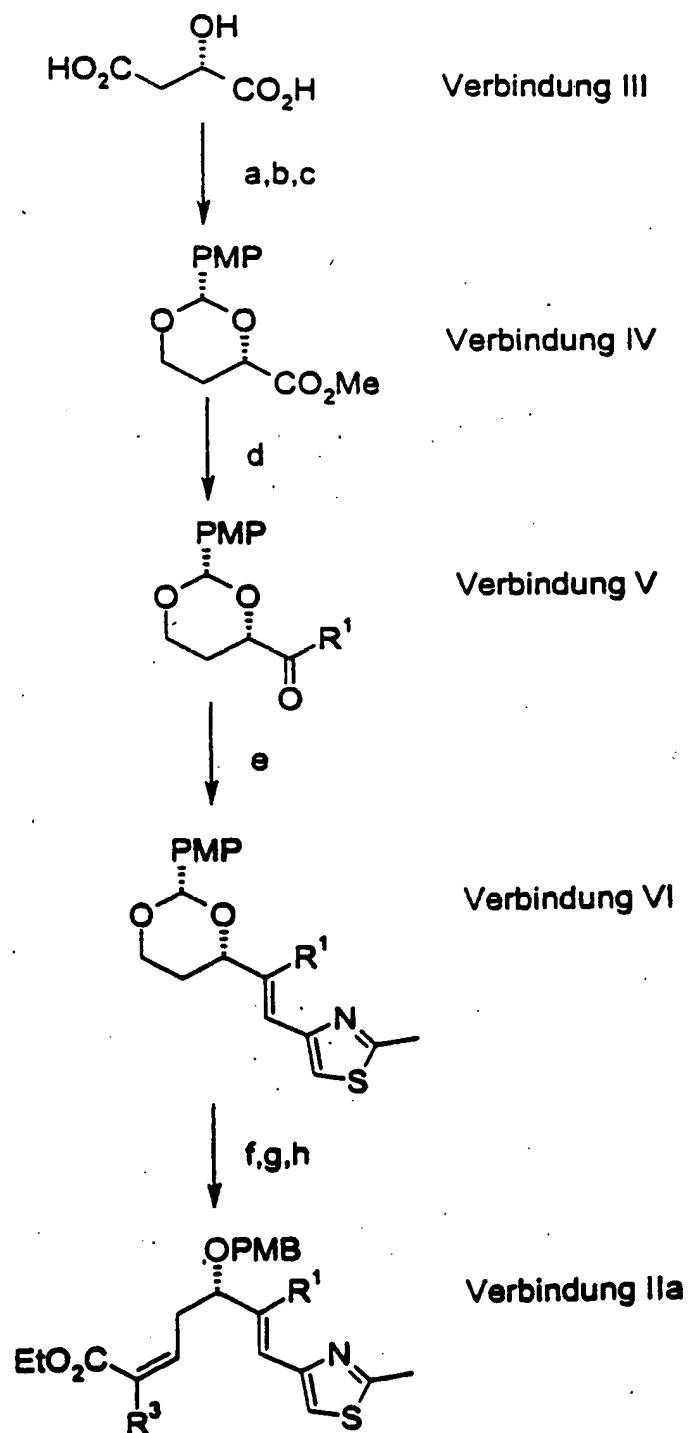
(II)

- 5    worin  $R^1$   $C_1$ - $C_4$ -Alkyl,  
        $R^2$  eine beliebige chelatisierungsfähige Schutzgruppe,  
        $R^3$  Wasserstoff oder  $C_1$ - $C_4$ -Alkyl  
       Y  $CO_2R^4$ , CHO,  $CH=CH_2$  oder  $CH_2R^5$ ,  
       wobei  
 10     $R^4$  für  $C_1$ - $C_4$ -Alkyl oder eine gegebenenfalls substituierte Benzylgruppe,  
        $R^5$  für Halogen, Hydroxy, p-Toluolsulfonat oder  $-OSO_2B$  und  
       B für  $C_1$ - $C_4$ -Alkyl oder  $C_1$ - $C_4$ -Perfluoralkyl steht,  
       bedeutet,  
       sich diastereomerenrein herstellen lassen und geeignet sind für die Herstellung von  
 15    Epothilon A und Epothilon B und deren Derivaten.
- Unter  $C_1$ - $C_4$ -Alkyl für  $R^1$ ,  $R^3$ ,  $R^4$ , und B sind Methyl, Ethyl, Propyl, Isopropyl, Butyl, Isobutyl und Tertiärbutyl zu verstehen.
- 20    Unter einer beliebigen chelatisierungsfähigen Schutzgruppe  $R^2$  sind zum Beispiel Benzylreste wie z.B. Benzyl, p-Methoxybenzyl (PMB), Silylreste wie z.B. Trimethylsilyl, 2-(Trimethylsilyl)ethoxymethyl (SEM), Tetrahydropyranyl, Methoxymethyl, Benzyl-oxymethoxymethyl, Benzoyl, Acetyl zu verstehen.
- 25    Die substituierte Benzylgruppe  $R^4$  kann z.B. p-Methoxybenzyl, 2,4-Dimethoxybenzyl oder ein durch andere elektronenschiebende Substituenten substituierter Benzylrest sein.
- Mit Halogen sind Fluor, Chlor, Brom und Iod gemeint, wobei Brom und Iod bevorzugt sind.
- 30    Unter  $C_1$ - $C_4$ -Perfluoralkyl sind geradkettige oder verzweigte vollständig fluorierte Alkylreste wie zum Beispiel  $CF_3$ ,  $C_2F_5$ ,  $C_3F_7$ ,  $C_4F_9$  zu verstehen.

Die Verbindungen II können nach dem in Schema I gezeigten Verfahren hergestellt werden, in dem die Synthese beispielhaft für Verbindung IIa mit  $R^2 = p$ -Methoxybenzyl,  $R^3 = \text{Methyl}$  und  $Y = \text{CO}_2\text{Et}$  dargestellt ist.

Ausgehend von der natürlich vorkommenden (S)-Äpfelsäure (III) wird die  $\alpha$ -Hydroxysäurefunktion mit Trifluoressigsäureanhydrid/Methanol (a) in den Mono-methylester überführt. Die noch verbliebene Säurefunktion wird dann mit Diboran in Tetrahydrofuran (b) zum Alkohol reduziert. Der so erhaltene (S)-(-)-Methyl-2,4-Dihydroxyester wird mit  $p$ -Methoxybenzyl dimethylacetal mit Camphersulfonsäure in Toluol unter Rückfluß (c) in das cyclische Acetal (IV) überführt. Aus dem Methylester wird durch Reaktion mit einem Äquivalent Methylolithium in 2 Stunden bei  $-100^\circ\text{C}$  (d) das Methylketon (V) erhalten. Umsetzung mit einer  $\text{C}_2$ -,  $\text{C}_3$ - oder  $\text{C}_4$ -metallorganischen Verbindung z.B. einer Grignardverbindung unter üblichen Reaktionsbedingungen führt zu den übrigen Resten  $R^1$ . Bei der Wittigreaktion (e) wird das 2-Methyl-4-thiazolymethyltriphenylphosphoniumbromid, das in zwei Stufen aus 1,3-Dichlorpropanon zugänglich ist, zuerst mit Natriumhexamethyldisilazid bei  $-78^\circ\text{C}$  in Tetrahydrofuran zusammengegeben bevor das Keton dazugegeben wird. Die Reaktion führt nach 1 Stunde und Erwärmen auf  $-40^\circ\text{C}$  zu einem E/Z-Gemisch (E/Z = 3,6 : 1). Das E-Isomer (VI) ist durch einfache Flashchromatographie abzutrennen. Regioselektive Freisetzung der terminalen Hydroxygruppe durch reduktive Öffnung des Acetals mit 4 Äquivalenten Diisobutylaluminiumhydrid in Methylenchlorid in 4 Stunden bei  $-20^\circ\text{C}$  (f) ergibt ein gut trennbares Gemisch (5,6 : 1 für das gewünschte Regioisomer) der Alkohole. Nach Trennung wird der Alkohol durch Swern-Oxidation in einer Stunde unter Aufwärmen von  $-78^\circ\text{C}$  nach  $0^\circ\text{C}$  (g) in den entsprechenden Aldehyd überführt, der sofort zur Wadsworth-Horner-Emmons-Kondensation unter Still's Bedingungen (h) mit Ethyl-2-Diethoxyphosphinylpropionat oder dem entsprechend dem gewünschten Rest  $R^3$  geeigneten Horner-Reagenz unter Zugabe von Kaliumhexamethyldisilazid, 18-Krone-6 bei  $-78^\circ\text{C}$  für eine Stunde in Tetrahydrofuran umgesetzt wird. Es wird ein E/Z-Gemisch (E/Z = 6,2 : 1) der  $\alpha,\beta$ -ungesättigten Ester erhalten, aus dem das Z-Isomer (IIa) in guter Ausbeute abgetrennt werden kann. Die Verwendung des Trifluorethylphosphonat-Derivates führt zu einer besseren Selektivität von 15:1.

## Schema I

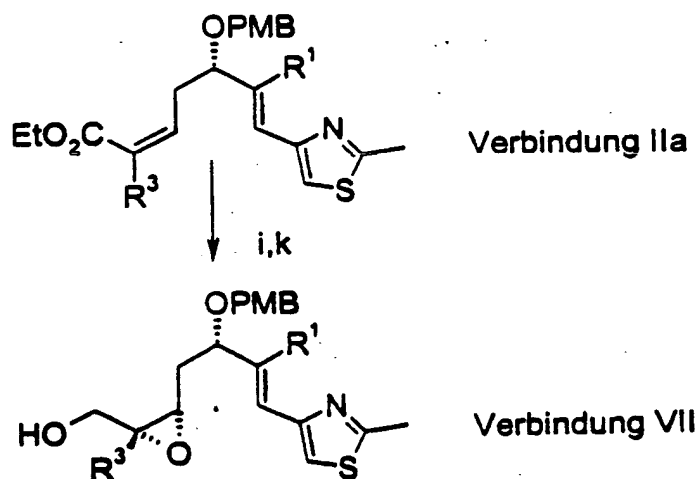


Die Verbindung der allgemeinen Formel IIa stellt einen zentralen Baustein für die Synthese von Epothilon-Derivaten und Epothilon selbst dar.

Die Esterfunktion in Position 11 kann in jede beliebige, für den späteren Ringschluß benötigte, Funktionalität überführt werden.

Derivatisierungen in 12- und 13-Position (Epothilon-Zählweise) sind aus der Doppelbindung möglich. So zum Beispiel die Überführung in das im Epothilon selbst vorhandene Epoxid durch Sharpless-Oxidation:

Dazu wird der Ester IIa mit 3 Äquivalenten Diisobutylaluminiumhydrid in Tetrahydrofuran bei  $-20^{\circ}\text{C}$  (i) zum  $\alpha,\beta$ -ungesättigten Alkohol reduziert und anschließend die Doppelbindung des Allylalkohols mit 4A Molekularsieb, Titan-tetraisopropylat, D-(-)-diisopropyltartrat, Tertiärbutylhydroperoxid in Methylenchlorid für 3 Stunden bei  $-30^{\circ}\text{C}$  (k) diastereoselektiv epoxidiert.



Auch die noch in geschützter Form vorliegende Hydroxyfunktion in 15-Position läßt Derivatisierungen an dieser Stelle zu oder ist unter literaturbekannten Bedingungen spaltbar.

Verbindungen mit  $\text{Y} = \text{CHO}$  können durch Dibal-Reduktion von Verbindung IIa in literaturbekannter Weise erhalten werden. Nachfolgende Wittigreaktion führt zu Verbindungen mit  $\text{Y} = \text{CH}=\text{CH}_2$ .

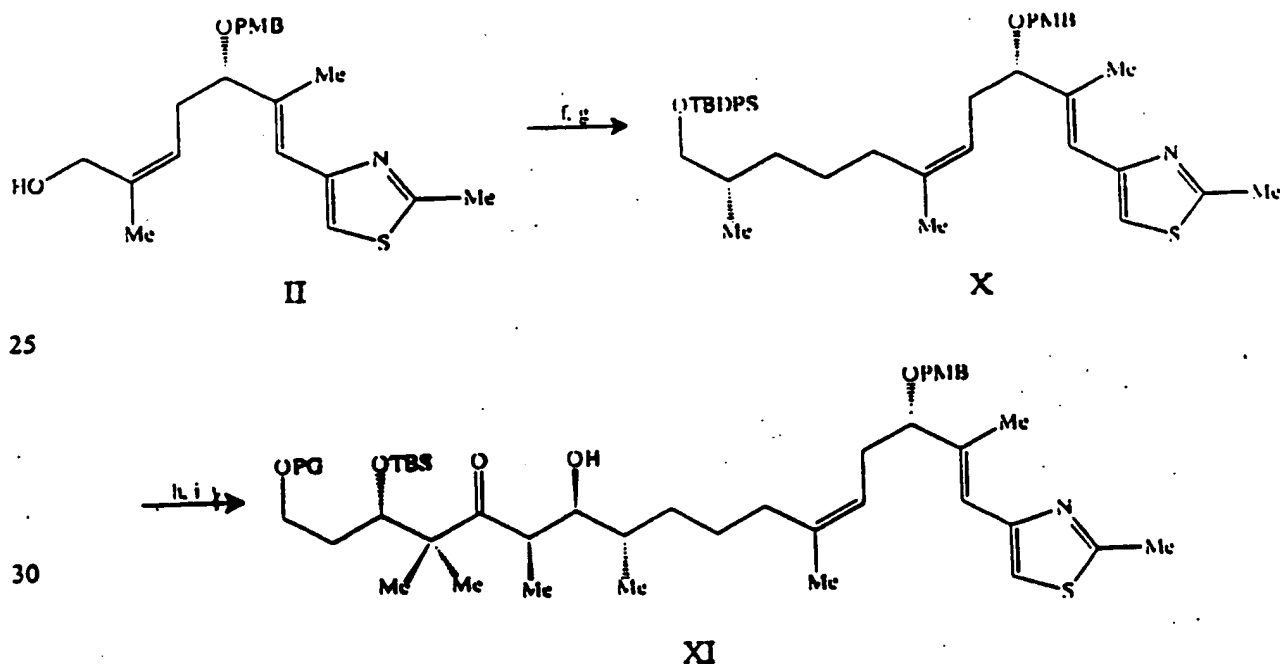
25

Die Verbindungen mit  $\text{Y} = \text{CH}_2\text{R}^5$  mit  $\text{R}^5 = \text{p-Toluolsulfonat}$ ,  $(\text{C}_1\text{-C}_4)\text{alkylsulfonat}$ , oder  $(\text{C}_1\text{-C}_4)\text{perfluoralkylsulfonat}$  können aus dem Alkohol (VII) erhalten werden.

Die Verbindungen mit  $Y = \text{CH}_2\text{-Halogen}$  lassen sich aus z.B. der Verbindung mit  $Y = \text{CH}_2\text{-p-Toluolsulfonat}$  oder  $Y = \text{OH}$  in üblicher Weise erhalten.

Im Gegensatz zu dem Verfahren von Danishefsky et al werden nur 10 Stufen für die Synthese bis zur Stufe des Epoxids benötigt und das Thiazolderivat der Formel IIa kann ebenso wie auch das Epoxid diastereomerenrein erhalten werden. Ein weiterer Vorteil besteht darin, daß das verwendete natürliche Ausgangsmaterial und die Reaktionen der Synthese eine Herstellung größerer Mengen erlauben.

- Die Weiterverarbeitung der erfindungsgemäßen Verbindungen zu Epothilon A und B kann wie in der nachstehenden Reaktionssequenz angegeben erfolgen. Die Verbindung der allgemeinen Formel XI wird analog zu bekannten Verfahren durch Abspaltung der primären Schutzgruppe, Oxidation in Position 1, selektive Freisetzung der 15-Hydroxygruppe, wie sie beispielsweise von K.C. Nicolaou et al. In Nature, Vol. 387, 1997, S. 268 – 272 und J. Am. Chem. Soc. 1997, 119, S. 7960 – 7973 beschrieben sind, zu Epothilon B weiterverarbeitet:



- f) (i) Iodidbildung, (ii) Sulfonkupplung, 76,5%; g) Desulfonierung, 70%;  
h) Desilylierung, 98%; i) Aldolreaktion.

Die nachfolgenden Beispiele dienen der näheren Erläuterung des Erfindungsgegenstandes, ohne ihn auf diese beschränken zu wollen.



## Präparative Methoden

Alle Umsetzungen metallorganischer Reagenzien und alle Reaktionen in absoluten Lösemitteln werden unter Luft- und Feuchtigkeitsausschluß durchgeführt. Die verwendeten Glasapparaturen werden vor Versuchsbeginn mehrmals im Ölpumpen-vakuum ausgeheizt und mit getrocknetem Argon der Firma Linde belüftet. Wenn nicht anders angegeben, werden sämtliche Reaktionsansätze magnetisch gerührt.

Methylenchlorid wird über eine basische Aluminiumoxidsäule der Aktivitätsstufe I (Woelm) getrocknet. Diethylether wird nach Vortrocknung auf einer basischen Aluminiumoxidsäule über eine 8:1 Natrium/Kalium-Legierung refluxiert bis zur stabilen Blaufärbung des Benzophenon-Indikators und vor der Verwendung frisch abdestilliert. Das Tetrahydrofuran (THF) wird über KOH vorgetrocknet, über eine mit basischem Aluminiumoxid beschickte Säule filtriert und anschließend über Kalium mit Triphenylmethan als Indikator destilliert.

Der Essigsäureethylester (EE) wird nach Vortrocknung über Calciumchlorid ebenso wie Hexan (Hex) vor der Verwendung zur Säulenchromatographie am Rotationsverdampfer abdestilliert.

## Chromatographische Verfahren

Sämtliche Reaktionen werden durch Dünnschichtchromatographie (DC) auf Kieselgel-60-Alufolien mit UV-Indikator F<sub>254</sub> der Firma Merck verfolgt. Als Laufmittel werden zumeist Lösemittelgemische aus Hexan (Hex) und Essigsäureethylester (EE) verwendet. Zum Sichtbarmachen nicht UV-aktiver Substanzen bewährt sich meist Anisaldehyd/Eisessig/Schwefelsäure (1:100:1) als Standard-Tauchreagenz.

Die präperative Säulenchromatographie wird an Kieselgel-60 der Firma Merck (0,04-0,063 mm, 230-400 mesh) durchgeführt, wobei als Eluens Lösemittelgemische aus Hexan (Hex) und Essigsäureethylester (EE) bzw. Diisopropylether dienen.

Im analytischen, wie auch im präperativen Maßstab werden die Hochdruckflüssigkeitschromatographischen Trennungen (HPLC) auf Modulsystemen der Firmen Knauer (Pumpe 64, UV- und RI-Detektoren, Säulen und Schreiber), Waters/Millipore (Injektionssystem U6K9) und Milton-Roy (Integrator CI-10) durchgeführt. Für die analytische HPLC wird zumeist eine Knauer-Säule (4-250 mm) mit 5 µm Nucleosil und für die präperative HPLC eine Säule (16-250 mm, 32-250 mm bzw. 64-300 mm) mit 7 µm oder 5 µm Nucleosil 50 verwendet.

## Färbereagenzien

- 5 Färbereagenz I (F I): 1 g Cer(IV)sulfat in 10 mL konz. Schwefelsäure und 90 mL Wasser liefert mit den meisten reduzierbaren Verbindungen intensiv blaue Farbreaktion beim Trocknen.
- 10 Färbereagenz II (F II): Eine 10%ige ethanolische Lösung von Molybdätophosphorsäure stellt ein weiteres Tauchreagenz zum Nachweis ungesättigter und reduzierbarer Verbindungen dar. Im Unterschied zum Färbereagenz I zeigt das Molydat-Färbereagenz, speziell auf einige Funktionalitäten ansprechend, ein breiteres Farbspektrum bei praktisch gleicher Zuverlässigkeit.
- 15 Färbereagenz III (F III): 1 mL Anisaldehyd in 100 mL Ethanol und 2 mL konz. Schwefelsäure stellt ein äußerst empfindliches Färbereagenz dar, daß zudem auch das wohl breiteste Farbspektrum zeigt.
- Färbereagenz IV (F IV): Das Vanillin-Tauchbadreagenz ist ähnlich empfindlich, wie das Anisaldehyd-Färbereagenz und zeigt wie dieses ein nahezu breites Farbspektrum.
- 20 Färbereagenz V (F V): 1 g 2,4-Dinitrophenylhydrazin in 25 mL Ethanol, 8 mL Wasser und 5 mL konz. Schwefelsäure stellt ein hervorragendes, selektiv schon ohne Erwärmung auf Aldehyde und etwas langsamer auf Ketone ansprechendes, Tauchreagenz dar.
- 25 Färbereagenz VI (F VI): Eine 0.5%ige wässrige Lösung von Kaliumpermanganat zeigt durch Entfärbung oxidierbare Gruppen an, wobei ungesättigte, nicht aromatische Struktureinheiten spontan ohne Erwärmung reagieren.

## 30 Spektroskopische Verfahren und allgemeine Analytik

### NMR-Spektroskopie

- 35 Die  $^1\text{H}$ -NMR-Spektren werden mit einem AC 250, AM 270 oder AMX 500 Spektrometer der Firma Bruker mit den Substanzen als Lösung in deuterierten Lösemitteln und Tetramethylsilan als internem Standard aufgenommen. Die Auswertung der Spektren erfolgt nach den Regeln erster Ordnung. Ist eine auftretende Signalmultiplizität damit nicht zu erklären, erfolgt die Angabe des beobachteten Liniensatzes. Zur Bestimmung der Stereochemie wird die NOE-Spektroskopie (Nuclear Overhauser Effect) verwendet.

Zur Charakterisierung der Signale werden folgende Abkürzungen verwendet: s (Singulett), d (Dublett), dd (Doppeldublett), ddd (6-Liniensystem bei zwei gleichen Kopplungskonstanten bzw. ein 8-Liniensystem bei drei verschiedenen Kopplungskonstanten), t (Triplet), q (Quartett), quint (Quintett), sext (Sextett), sept (Septett), m (Multiplet), mc (zentriertes Multiplet), br (breit) und v (verdecktes Signal).

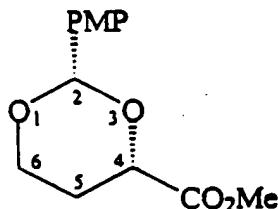
Die  $^{13}\text{C}$ -NMR-Spektren werden mit einem AC 250 der Firma Bruker mit  $\text{CDCl}_3$ -Signal bei 77,0 ppm als internem Standard vermessen, wobei die Protonenresonanzen breitbandenkoppelt werden.

## Verwendete Abkürzungen

abs.: absolut, Ar: Aryl/Aromat, ber.: berechnet, Brine: kalt gesättigte Kochsalzlösung, c: Konzentration, COSY: korrelierte Spektroskopie (correlated spectroscopy), DC: Dünnschichtchromatographie, DDQ: Dichloro-dicyano-Quinon, d.e.: diastereomeric excess, DIBAL: Diisobutyl-aluminiumhydrid, DMF: N,N'-Dimethylformamid, DMS: Dimethylsulfid, DMSO: Dimethylsulfoxid, ds: Diastereoselektion, EA: Elementaranalyse, e.e.: enantiomeric excess, EE: Essigsäureethylester, EI: Elektronenstoßionisation, eq: Äquivalent(e), eV: Elektronenvolt, FG: functional group, gef.: gefunden, ges.: gesättigt(e), h: Stunde(n), Hex: n-Hexan, HMDS: Hexamethyldisilazid, HPLC: Hochdruckflüssigkeitschromatographie (high pressure liquid chromatographie, Hünig Base: N-Ethyl-diisopropylamin, HRMS: High Resolution Massenspektrometrie, HV: Hochvakuum, iPrOH: 2-Propanol, IR: Infrarotspektrometrie/Infrarotspektrum, J: Kopplungskonstante, LDA: Lithiumdiisopropylamin, Lsg.: Lösung, Lsm.: Lösemittel, Me: Methyl, MeLi: Methyllithium, min: Minute(n), MS: Massenspektrometrie/Massenspektren, NMR: Kernmagnetische Resonanz (Nuclear Magnetic Resonanz), NOE: Kern-Overhauser-Effekt (Nuclear Overhauser Effect), PCC: Pyridiniumchlorochromat, PG: Schutzgruppe (protection group), Ph: Phenyl, ppm: parts per million, Rkt.: Reaktion, rt: Retentionszeit, RT: Raumtemperatur (20-30 °C), Std.: Stunde(n), TBAF: Tetra-n-Butylammoniumfluorid, TBDPS: tert.-Butyldiphenyl-silyl-, TBS: tert.-Butyldimethylsilyl-, tert./t: tertiär, TFA: Trifluoethansäure, TFAA: Trifluoethansäureanhydrid, TFMS: Trifluormethansulfonsäure, THF: Tetrahydrofuran, TMS: Trimethylsilyl-, u:  $\text{g mol}^{-1}$ .

## Beispiel 1

(2S,4S)-2-[4-Methoxyphenyl]-1,3-dioxan-4-carbonsäuremethylester



AW-5-2 C<sub>13</sub>H<sub>16</sub>O<sub>5</sub>  
M= 252.26 g/mol  
C 61.9% H 6.4% O 31.7%

In einem ausgeheizten 250 ml Dreihalsl wenhalkolben werden 6.7 g (50 mmol) (S)- pfels ure bei 0  C unter Argon vorgelegt. Unter R hren werden bei 0  C 30 ml Trifluoressigs ureanhydrid  ber einen Tropftrichter sehr langsam zugegeben (Druckausgleich!). Nach vollst ndiger Zugabe wird das Eisbad entfernt und die Reaktionsl sung noch 2 h bei Raumtemperatur ger hrt.

Nun wird Trifluoressigs ure und  bersch ssiges Anhydrid zun chst im Wasserstrahlvakuum und anschlie end an der  lpumpe entfernt und der kristalline R ckstand bei 0  C tropfenweise mit 4.5 ml Methanol versetzt (Druckausgleich, s.o.!) und nach Entfernung des Eisbades noch ca. 12 h ger hrt.

Nach Einengung und Trocknung im Vakuum wird die kristalline Verbindung von (2S)-2-Hydroxy-butan-1,4-dis ure-1-monomethylester in 70 ml abs. THF gel st und bei 0  C tropfenweise mit 100 ml einer 1M Boran-THF-Komplex-Lsg. versetzt, 3 h nachger hrt und dann vorsichtig durch tropfenweise Zugabe von 60 ml Methanol die Reaktion abgebrochen. Nach Einengung am Rotationsverdampfer wird das z he  l zur Entfernung von Trimethylborat noch mehrfach mit Methanol versetzt und im Vakuum eingedampft. (Eventuell liegt die Dihydroxyverbindung im Gemisch mit Hydroxy-butyrolacton vor, das so gereinigte Rohprodukt wird direkt weiter umgesetzt).

In einem ausgeheizten 250 ml Dreihalsl wenhalkolben wird obiges Rohprodukt in 220 ml abs. Toluol mit 12.8 mL (65 mmol) Anisaldehyddimethylacetal vorgelegt, mit 1.16 g Campfersulfons ure versetzt und  ber einen mit aktiviertem 4  Molsieb gef llten Soxhletextraktor unter R ckflu  5 h ger hrt. Nach Abk hlung der L sung wird  ber eine mit Kieselgel beschickte Fritte filtriert, nachgewaschen mit Ether, mit ges. Natriumcarbonat-Lsg. ausgesch ttelt,  ber Magnesiumsulfat getrocknet, filtriert und eingengt. Das Rohprodukt wird  ber eine 5:1-Hex/EE-Kieselgels ule chromatographiert. Man erh lt 6.65 g (52.7%) des thermodynamischen Acetalproduktes als kristalline Verbindung.

<sup>1</sup>H-NMR (400 MHz, CDCl<sub>3</sub>): δ in ppm =

1.85 (dtd,  $J_{3a,3b} = 13.5$  Hz,  $J_{3a,4a \text{ u. } 2} = 2.8$  Hz,  $J_{3a,4b} = 1.5$  Hz, 1H, 3a-H); 2.12 (dddd,  $J_{3b,3a} = 13.5$  Hz,  $J_{3b,2} \cong J_{3b,4a} \cong 12.0$  Hz,  $J_{3b,4b} = 5.0$  Hz, 1H, 3b-H); 3.76+3.77 (s, 3H+3H, OCH<sub>3</sub>+CO<sub>2</sub>CH<sub>3</sub>); 3.98 (ddd,  $J_{4a,3b} \cong J_{4a,4b} \cong 12.0$  Hz,  $J_{4a,3a} = 2.5$  Hz, 1H, 4a-H); 4.30 (ddd,  $J_{4b,4a} = 12.0$  Hz,  $J_{4b,3b} = 5.0$  Hz,  $J_{4b,3a} = 1.5$  Hz, 1H, 4b-H); 4.49 (dd,  $J_{2,3b} = 12.0$  Hz,  $J_{2,3a} = 2.8$  Hz, 1H, 2-H); 5.47 (s, 1H, OCHArO); 6.87 (dt,  $J_{ArH,ArH} = 8.5$  Hz,  $J_{ArH,OCHArO} = 2.0$  Hz, 2H, ArH); 7.42 (d,  $J_{ArH,ArH} = 8.5$  Hz, 2H, ArH).

<sup>13</sup>C-NMR (100 MHz, CDCl<sub>3</sub>): δ in ppm =

28.1 (C-3); 52.2 (C-6); 55.5 (C-11); 66.6 (C-4); 75.7 (C-2); 101.3 (C-5); 113.6 (C-9); 127.5 (C-8); 130.2 (C-7); 160.1 (C-10); 170.4 (C-1).

IR (Si-Film): ν in cm<sup>-1</sup> =

2961m; 2855m; 1730s; 1614m; 1519m; 1445m; 1375m; 1310s; 1251vs; 1207m; 1185m; 1137s; 1096s; 1070m; 1028vs; 993vs; 832s.

MS (EI, 70 eV, 30°C): m/e =

252 (98) [M<sup>+</sup>]; 251 (100) [M<sup>+</sup>-H]; 221 (14); 193 (86); 169 (16); 137 (88); 136 (98); 135 (98); 121 (28); 119 (34); 109 (42); 77 (53); 69 (58); 57 (25); 55 (31).

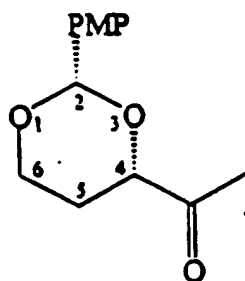
Schmp.: 78-80°C (aus Et<sub>2</sub>O)

C<sub>13</sub>H<sub>16</sub>O<sub>5</sub>: (M = 252.26 g·mol<sup>-1</sup>)

EA: ber.: C: 61.90 % H: 6.39 %  
gef.: C: 61.67 % H: 6.43 %

## Beispiel 2

(2S,4S)-(2-[4-Methoxyphenyl]-1,3-dioxan-4-yl)-ethan-1-on



AW-6-2 C<sub>13</sub>H<sub>16</sub>O<sub>4</sub>  
M = 236.26 g/mol  
C 66.1% H 6.8% O 27.1%

In einem 250 ml Dreihalsrundkolben werden 2.066 g (8.19 mmol) der aus Beispiel 1 erhaltenen Verbindung in ca. 80 ml abs. THF bei -100 °C tropfenweise mit 7.17 ml einer 1.6 M MeLi-Lsg. (1.4 eq) versetzt und 1-2 h nachgerührt.

Bei vollständigem Umsatz des Eduktes, wird das Kühlbad entfernt und zügig mit ca. 100 ml ges. NH<sub>4</sub>Cl-Lsg. gequentscht und 1 h nachgerührt. Zur Aufarbeitung wird mit Ether verdünnt, die Phasen getrennt, die org. Phase mit Wasser, ges. NaHCO<sub>3</sub>-Lsg., Wasser und Brine gewaschen und die wässrige Phase nochmals mit Ether extrahiert. Die vereinigten org. Phasen werden über Magnesiumsulfat getrocknet, filtriert und einge-  
 10 Reinigt einfach mit kaltem Hexan gewaschen werden). Nach Chromatographie über eine 3:1-Hex/EE-Kieselgelsäule wurden 1.656 g (85.6%) erhalten.

<sup>1</sup>H-NMR (400 MHz, CDCl<sub>3</sub>): δ in ppm =

1.79 (dtd,  $J_{2a,2b} = 13.3$  Hz,  $J_{2a,1a \text{ u. } 3} = 2.9$  Hz,  $J_{2a,1b} = 1.5$  Hz, 1H, 2a-H); 1.90 (dddd,  $J_{2b,2a} = 13.3$  Hz,  $J_{2b,2 \text{ u. } 3} = 11.8$  Hz,  $J_{2b,1b} = 4.9$  Hz, 1H, 2b-H); 2.27 (s, 3H, COCH<sub>3</sub>); 3.79 (s, 3H, OCH<sub>3</sub>); 3.96 (td,  $J_{1a,1b} \cong J_{1a,2b} \cong 11.8$  Hz,  $J_{1a,2a} = 2.5$  Hz, 1H, 1a-H); 4.25 (dd,  $J_{3,2b} = 11.3$  Hz,  $J_{3,2a} = 3.0$  Hz, 1H, 3-H); 4.29 (ddd,  $J_{1b,1a} = 11.3$  Hz,  $J_{1b,2b} = 4.9$  Hz, 1H, 1b-H); 5.50 (s, 1H, OCHArO); 6.89 (d,  $J_{ArH,ArH} = 8.8$  Hz, 2H, ArH); 7.43 (d,  $J_{ArH,ArH} = 8.4$  Hz, 2H, ArH).

<sup>13</sup>C-NMR (100 MHz, CDCl<sub>3</sub>): δ in ppm =

25.7 (C-5); 27.2 (C-2); 55.2 (C-11); 66.7 (C-1); 81.5 (C-2); 100.9 (C-6); 113.6 (C-9); 127.3 (C-8); 130.5 (C-7); 160.1 (C-10); 208.1 (C-1).

IR (Si-Film): ν in cm<sup>-1</sup> =

2999m; 2969s; 2931s; 2909m; 2871s; 2832m; 1710s; 1615m; 1590m; 1520s; 1464m; 1452m; 1429s; 1399m; 1359vs; 1328w; 1310m; 1296m; 1236vs; 1220m; 1207m; 1180s; 1119s; 1100s; 1069m; 1035vs; 1018vs; 992vs; 971vs; 948m; 833vs.

MS (EI, 70 eV, 30°C): m/e =

236 (88) [M<sup>+</sup>]; 235 (91); 221 (20); 194 (72); 193 (78); 163 (33); 153 (27); 137 (88); 136 (88); 135 (86); 121 (77); 109 (85); 100 (28); 92 (47); 84 (99); 83 (65); 77 (92); 65 (31); 63 (31); 57 (43); 55 (31); 43 (100).

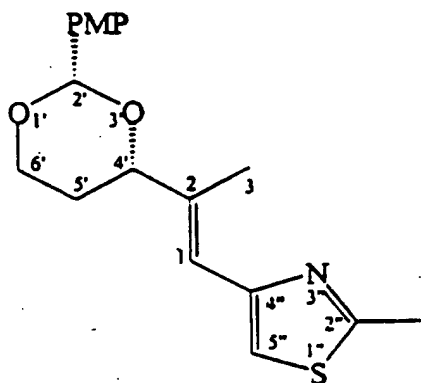
Schmp.: 74-76°C

C<sub>13</sub>H<sub>16</sub>O<sub>4</sub>: (M = 236.26 g·mol<sup>-1</sup>)

EA: ber.: C: 66,09 % H: 6.83 %  
 gef.: C: 66.34 % H: 6.99 %

## Beispiel 3

(2'S,4'S,1E)-4-[2-(4-Methoxyphenyl-1,3-dioxan-4-yl)-prop-1-enyl]-2-methylthiazol



AM-5-2  $C_{18}H_{21}NO_3S$

M= 331.42 g/mol

C 65.2% H 6.4% N 4.2% O 14.5% S 9.7%

In einem 100 mL Dreihals-Löwenthal Kolben werden 1.475 g (3.25 mmol; 1.3 eq) Wittigreagenz (2-Methyl-thiazol-4-yl-methyl-triphenylphosphoniumbromid); nach erneuter Trocknung im Ölpumpenvakuum mit 5 ml abs. THF suspendiert. Nach Abkühlung der Suspension auf -78 °C, wird mit einer Lösung von 715 mg (3.9 mmol; 1.2 eq) NaHMDS, gelöst in 5 ml abs. THF, durch langsame Zugabe deprotoniert und 15 min nachgerührt.

Nochmals direkt vor der Verwendung getrocknete 590 mg (2.5 mmol) der aus Beispiel 2 erhaltenen Verbindung, gelöst in 5 ml abs. THF, werden bei -78 °C langsam zugetropft, 5 min nachgerührt, anschließend das Kühlbad entfernt und auf Raumtemperatur erwärmen gelassen. Nach ca. 40 min wird die Reaktionslösung im Wasserbad auf 40-50 °C erwärmt und 1 h gerührt.

Zur Aufarbeitung wird durch Zugabe von ges.  $NH_4Cl$ -Lsg. gequentscht, die Phasen getrennt, die organische Phase über Magnesiumsulfat getrocknet, filtriert und einrotiert. Nach Chromatographie über eine 6:5:1- $CH_2Cl_2$ /Hex/EE-Kieselgelsäule werden 171 mg Z-Olefin und 614 mg E-Olefin erhalten.

Die Olefinierungsprodukte werden somit in einer Ausbeute von 94.75% im Verhältnis von 1:3.6-Z:E-Olefin erhalten.

$^1H$ -NMR (400 MHz,  $CDCl_3$ ) (E-Olefin):  $\delta$  in ppm =

1.67 (dtd,  $J_{2a,2b} = 13.3$  Hz,  $J_{2a,1a \text{ u. } 3} = 2.5$  Hz,  $J_{2a,1b} = 1.5$  Hz, 1H, 2a-H); 2.02 (mc, 1H, 2b-H); 2.10 (d,  $J_{4,3} = 1.0$  Hz, 1H, 4-H); 2.69 (s, 3H, TAr- $CH_3$ ); 3.78 (s, 3H,

OCH<sub>3</sub>); 4.02 (td,  $J_{1a,1b} \cong J_{1a,2b} \cong 11.5$  Hz,  $J_{1a,2a} = 2.5$  Hz, 1H, 1a-H); 4.29 (ddd,  $J_{1b,1a} = 11.5$  Hz,  $J_{1b,2b} = 5.0$  Hz,  $J_{1b,2a} = 1.5$  Hz, 1H, 1b-H); 4.34 (mc, 1H, 3-H); 5.56 (s, 1H, OCHArO); 6.63 (q,  $J_{5,4} \cong 1.0$  Hz, 1H, 5-H); 6.88 (mc, 2H, Ar-H); 6.97 (s, 1H, TAr-H); 7.44 (mc, 2H, Ar-H).

5

<sup>13</sup>C-NMR (100 MHz, CDCl<sub>3</sub>) (E-Olefin):  $\delta$  in ppm =

15.1 (C-16); 19.2 (C-9); 30.2 (C-2); 55.3 (C-15); 67.1 (C-1); 81.7 (C-3); 101.1 (C-10);

113.5 (C-13); 115.7 (C-7); 118.9 (C-5); 127.5 (C-12); 131.3 (C-11); 139.1 (C-4);

10

152.8 (C-6); 159.9 (C-14); 164.4 (C-8).

IR (Si-Film):  $\nu$  in cm<sup>-1</sup> =

3105w; 3057w; 2959m; 2925m; 2850m; 1658w; 1614s; 1517s; 1463m; 1442m; 1429m; 1394m; 1371m; 1302s; 1248vs; 1215w; 1172s; 1152w; 1118s; 1096s;

15

1062w; 1034s; 977w; 830m.

MS (EI, 70 eV, 40°C): m/e =

331 (41) [M<sup>+</sup>]; 279 (35); 247 (23); 231 (21); 195 (34); 178 (24); 167 (54); 164 (52); 149 (57); 140 (43); 139 (51); 136 (92); 135 (100); 119 (96); 97 (40); 94 (44); 91 (69); 77 (36); 69 (52); 57 (44); 55 (43); 43 (50).

20

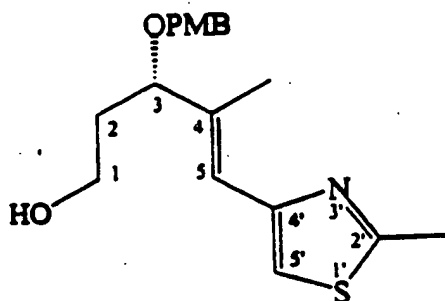
C<sub>18</sub>H<sub>21</sub>NO<sub>3</sub>S:

(M = 331.42 g·mol<sup>-1</sup>)

EA: ber.: C: 65.23 % H: 6.39 % N: 4.22 %  
gef.: C: 65.37 % H: 6.41 % N: 4.40 %

#### 25 Beispiel 4

(3S, 4E)-3-[(4-Methoxyphenyl)methoxy]-4-methyl-5-(2-methylthiazol-4-yl)pent-4-enol



AM-12-2 C<sub>18</sub>H<sub>21</sub>NO<sub>3</sub>S

M = 333.44 g/mol

C 64.8% H 7.0% N 4.2% O 14.4% S 9.6%



In 30 ml abs.  $\text{CH}_2\text{Cl}_2$  werden 662 mg (2 mmol) der aus Beispiel 3 erhaltenen Verbindung bei  $-20^\circ\text{C}$  tropfenweise mit 8 ml einer 1M DIBAL-Lsg. (4 eq) versetzt und ca. 5 h gerührt. Zum Reaktionsabbruch wird mit 1 ml MeOH gequentscht und anschließend langsam gesättigte NaK-Tartrat-Lsg. (30 ml) hinzugegeben. Die Lsg. wird über Nacht gerührt, wobei sich zwei klare Phasen gebildet haben. Die Phasen werden getrennt, die wässrige Phase noch zweimal mit  $\text{CH}_2\text{Cl}_2$  extrahiert und die vereinigten org. Phasen mit ges.  $\text{NH}_4\text{Cl}$ -Lsg. gewaschen. Nach Trocknung über  $\text{MgSO}_4$  wird filtriert und im Vakuum eingengt.

Chromatographie über eine 2:1-Hex/EE-Kieselgelsäule erbrachte 594 mg (89.1%) Gesamtausbeute im Verhältnis 15:85 ((89 mg); (505 mg)).

$^1\text{H-NMR}$  (400 MHz,  $\text{CDCl}_3$ ) :  $\delta$  in ppm =

1.68 (dq,  $J_{2a,2b} = 14.3$  Hz,  $J_{2a,1's u. 3} = 4.9$  Hz, 1H, 2a-H); 1.94 (mc, 1H, 2b-H); 1.99 (s, 3H, 4-H); 2.37 (br s, 1H, 1-OH); 2.66 (s, 3H, TAr- $\text{CH}_3$ ); 3.68 (br mc, 2H, 1-H); 3.73 (s, 3H,  $\text{OCH}_3$ ); 3.99 (dd,  $J_{3,2a} = 8.9$  Hz,  $J_{3,2b} = 3.9$  Hz, 1H, 3-H); 4.18+4.42 (je d,  $J = 11.3$  Hz, 2H,  $\text{OCH}_2\text{Ar}$ ); 6.48 (s, 1H, 5-H); 6.80 (mc, 2H, Ar-H); 6.93 (s, 1H, TAr-H); 7.18 (mc, 2H, Ar-H).

$^{13}\text{C-NMR}$  (100 MHz,  $\text{CDCl}_3$ ) :  $\delta$  in ppm =

13.6 (C-16); 19.2 (C-9); 36.7 (C-2); 55.2 (C-15); 61.1 (C-1); 69.9 (C-3); 84.3 (C-10); 113.9 (C-13); 115.9 (C-7); 121.1 (C-5); 129.4 (C-12); 130.2 (C-11); 139.1 (C-4); 152.6 (C-6); 159.2 (C-14); 164.7 (C-8).

IR (Si-Film):  $\nu$  in  $\text{cm}^{-1}$  =

3396br; 2926m; 2856w; 2835w; 1612m; 1586w; 1514vs; 1464m; 1453m; 1442m; 1302m; 1248vs; 1181m; 1173m; 1060m; 1035s; 821m.

MS (EI, 70 eV,  $40^\circ\text{C}$ ): m/e =

333 (9) [ $\text{M}^+$ ]; 281 (14); 231 (14); 212 (40); 197 (51); 164 (30); 135 (22); 122 (40); 121 (100); 113 (31); 97 (23); 91 (39); 77 (37); 69 (38).

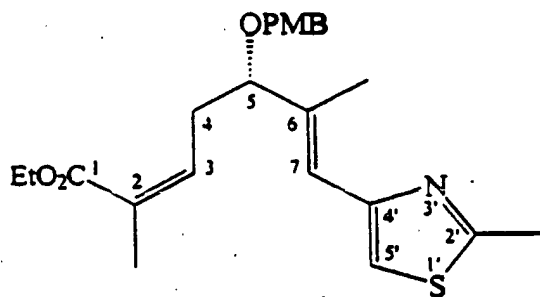
$\text{C}_{18}\text{H}_{23}\text{NO}_3\text{S}$ :

( $M = 333.44 \text{ g}\cdot\text{mol}^{-1}$ )

EA:	ber.:	C: 64.84 %	H: 6.95 %	N: 4.20 %
	gef.:	C: 65.08 %	H: 7.00 %	N: 4.14 %

## Beispiel 5

(5S,2Z,6E)-2,6-Dimethyl-5-[(4-ethoxyphenyl)methoxy]-7-(2-methylthiazol-4-yl)hepta-2,6-diensäure-ethylester



AM-14-1  $C_{23}H_{29}NO_4S$

M = 415.54 g/mol

C 66.5% H 7.0% N 3.4% O 15.4% S 7.7%

In 30 ml abs.  $CH_2Cl_2$  werden 102  $\mu$ L Oxalylchlorid (1,1 eq) vorgelegt und nach Einkühlung auf  $-78^\circ C$  unter Argon langsam mit 187  $\mu$ L DMSO (2,5 eq) versetzt und 10 min nachgerührt. (Trübung)

Bei  $-78^\circ C$  werden 354 mg (1,062 mmol) der aus Beispiel 4 erhaltenen Verbindung, gelöst in 5 ml abs.  $CH_2Cl_2$ , langsam zugegeben und 10 min nachgerührt. Anschließend wird ca. 1 ml ( $>5$  eq) Hünigbase zugegeben, 15 min nachgerührt und dann das Kühlbad entfernt. (Wieder klare Lsg.). Die Reaktionslösung wird mit 40 ml einer 1:1-Hex/EE-Lsg. verdünnt und mit Eiswasser gequenscht. Die Phasen werden getrennt, die wässrige Phase noch zweimal mit Ether extrahiert und die vereinigten organischen Phasen über Magnesiumsulfat getrocknet, über eine kurze Kieselgelfritte filtriert, im Vakuum eingeeengt und an der Ölpumpe getrocknet. Der Rohaldehyd wird ohne weitere Aufreinigung direkt für die nachfolgende Umsetzung verwendet.

In 25 ml abs. THF werden 303,5 mg 2-Phosphonopropionsäure-triethylester (1,2 eq) und 842 mg 18-Krone-6 (3 eq) bei  $-78^\circ C$  vorgelegt. Bei dieser Temperatur wird durch langsame Zugabe von 239 mg KHMDS (1,15 eq), gelöst in ca. 5 ml abs. THF, deprotoniert und 10 min nachgerührt. Anschließend wird der Rohaldehyd, gelöst in ca. 10 ml abs. THF, langsam zugegeben. DC-Kontrolle nach ca. 30 min zeigte bereits vollständigen Umsatz, so dass das Kühlbad entfernt und die Reaktion durch Zugabe von ges.  $NH_4Cl$ -Lsg. gequenscht wurde.

Nach Phasentrennung wird mit ges.  $NaHCO_3$ -Lsg. gewaschen, die wässrigen Phasen noch zweimal mit Ether extrahiert und die vereinigten organischen Phasen über Magnesiumsulfat getrocknet. Nach Filtration der organischen Phasen über kurze Kieselgelfritte wird am Rotationsverdampfer eingeeengt. Chromatographie über ein 3:1-Hex/EE-Kieselgelsäule erbrachte 377 mg (85,46%) Isomerengemisch im Verhältnis

von ca. 6,2:1. Zur Trennung der Doppelbindungsisomere empfiehlt sich eine Chromatographie über eine 7:1-Hex/EE-Kieselgelsäule oder eine Reinigung auf der präoperativen HPLC.

(Mittlerweile wurde auch die Verwendung des Trifluorethyl-Phosphonat-Derivates untersucht, die eine Selektivität von 15:1 erbrachte).

<sup>1</sup>H-NMR (400 MHz, CDCl<sub>3</sub>) (Z-Isomer): δ in ppm =

1.28 (t, *J* = 7.5 Hz, 3H, -CO<sub>2</sub>CH<sub>2</sub>CH<sub>3</sub>); 1.88 (d, *J*<sub>2,3</sub> = 1.5 Hz, 3H, 2-H); 2.04 (d, *J*<sub>6,7</sub> = 1.0 Hz, 3H, 6-H); 2.73 (s, 3H, TAr-CH<sub>3</sub>); 2.82 (mc, 2H, 4-H's); 3.80 (s, 3H, OCH<sub>3</sub>); 3.88 (t, *J*<sub>5,4a</sub> u. *J*<sub>5b</sub> = 7.0 Hz, 1H, 5-H); 4.17 (q, *J* = 7.0 Hz, 2H, -CO<sub>2</sub>CH<sub>2</sub>CH<sub>3</sub>); 4.24+4.49 (je d, *J* = 11.5 Hz, 2H, OCH<sub>2</sub>Ar); 5.96 (tq, *J*<sub>3,4a</sub> u. *J*<sub>3b</sub> = 6.9 Hz, *J*<sub>3,2</sub> = 1.5 Hz, 1H, 3-H); 6.54 (s, 1H, 6-H); 6.87 (mc, 2H, Ar-H); 6.99 (s, 1H, TAr-H); 7.25 (mc, 2H, Ar-H).

<sup>13</sup>C-NMR (100 MHz, CDCl<sub>3</sub>): δ in ppm =

13.4 (C-20); 14.3 (C-13); 19.2 (C-11); 20.7 (C-21); 34.4 (C-4); 55.3 (C-19); 60.1 (C-12); 69.8 (C-14); 84.3 (C-5); 113.7 (C-17); 115.8 (C-9); 121.4 (C-7); 128.4 (C-2); 129.4 (C-16); 130.7 (C-15); 138.8 (C-3); 139.1 (C-6); 152.7 (C-8); 159.1 (C-18); 164.5 (C-10); 167.9 (C-1).

MS (EI, 70 eV, 110°C): *m/e* =

415 (8) [M<sup>+</sup>]; 371 (13) [M<sup>+</sup>-OEt]; 294 (20); 289 (40); 288 (100); 248 (26); 231 (18); 204 (18); 164 (29); 138 (30); 122 (96); 121 (92); 113 (28); 97 (61); 91 (39); 78 (50); 77 (71); 69 (40); 53 (45); 43 (37).

C<sub>23</sub>H<sub>29</sub>NO<sub>4</sub>S:

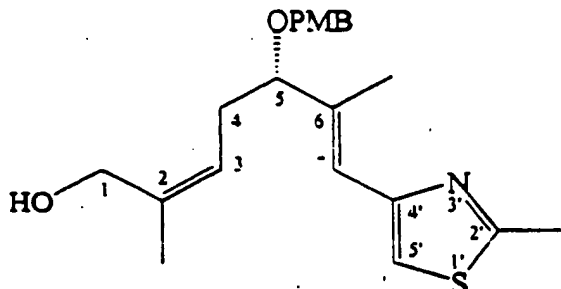
(*M* = 415.54 g·mol<sup>-1</sup>)

EA: ber.: C: 66,48 % H: 7,03 % N: 3,37 %

gef.: C: 65,91 % H: 6,77 % N: 3,29 %

## Beispiel 6

(5*S*,2*Z*,6*E*)-2,6-Dimethyl-5-[(4-methoxyphenyl)methoxy]-7-(2-methyl-thiazol-4-yl)hepta-2,6-dienol



AM-15  $C_{21}H_{27}NO_3S$

$M = 373.51 \text{ g/mol}$

C 67.5% H 7.3% N 3.8% O 12.9% S 8.6%

5

In 100 ml abs. THF werden bei  $-20^\circ\text{C}$  417 mg (1,0035 mmol) der aus Beispiel 5 erhaltenen Verbindung vorgelegt und dann tropfenweise mit 3 ml einer 1M-DIBAL in Heptan Lösung versetzt. Nach 3 h wurde zur Vervollständigung des Reaktionsumsatzes noch 1 ml der DIBAL-Lsg. nachgegeben und nochmals 30 min bei  $-20^\circ\text{C}$  nachgerührt.

10

Zum Reaktionsabbruch wurde mit 1 ml MeOH gequentscht und nach Verdünnung mit 50 ml Diethylether werden 100 ml halbkonz. NaK-Tartrat-Lsg. zugegeben. Nach ca. 2-3 h kräftigen Rührens bei RT werden die Phasen getrennt, die wässrige Phase noch zweimal mit Ether extrahiert und die vereinigten organischen Phasen über Magnesiumsulfat getrocknet, filtriert und im Vakuum eingengt. Chromatographische Reinigung über eine 1:1-Hex/EE-Kieselgelsäule erbrachte 272 mg (72,56%) Vinylalkohol.

15

$^1\text{H-NMR}$  (400 MHz,  $\text{CDCl}_3$ ):  $\delta$  in ppm =

20

1.79 (s, 3H, 2-H); 2.03 (d,  $J_{6,7} = 1.0 \text{ Hz}$ , 3H, 6-H); 2.21 (mc, 1H, 4a-H); 2.47 (br. 1H, 1-OH); 2.52 (dt,  $J_{4b,4a} = 14.3 \text{ Hz}$ ,  $J_{4b,3} = 8.4 \text{ Hz}$ , 1H, 4b-H); 2.70 (s, 3H, TAr- $\text{CH}_3$ ); 3.75 (dd,  $J_{5,4a} = 8.4 \text{ Hz}$ ,  $J_{5,4b} = 4.4 \text{ Hz}$ , 1H, 5-H); 3.77 (s, 3H,  $\text{OCH}_3$ ); 3.84+4.13 (je br d,  $J = 11.8 \text{ Hz}$ , 2H, 1-H's); 4.20+4.46 (je d,  $J = 11.3 \text{ Hz}$ , 2H,  $\text{OCH}_2\text{Ar}$ ); 5.26 (t,  $J_{3,4a} \text{ u. } 4b = 8.0 \text{ Hz}$ , 1H, 3-H); 6.49 (s, 1H, 7-H); 6.84 (mc, 2H, Ar-H); 6.97 (s, 1H, TAr-H); 7.20 (mc, 2H, Ar-H).

25

$^{13}\text{C-NMR}$  (100 MHz,  $\text{CDCl}_3$ ):  $\delta$  in ppm =

13.8 (C-18); 19.2 (C-11); 22.2 (C-19); 34.0 (C-4); 55.2 (C-17); 61.3 (C-1); 70.0 (C-12); 83.7 (C-5); 113.7 (C-15); 115.8 (C-9); 121.1 (C-7); 123.8 (C-3); 129.6

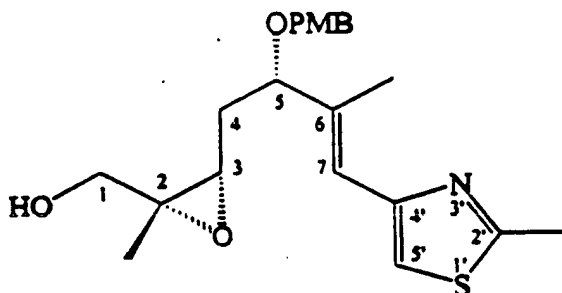
(C-14); 129.9 (C-13); 138.2 (C-2); 139.4 (C-6); 152.6 (C-8); 159.2 (C-16); 164.7 (C-10).

MS (EI, 70 eV, 50°C): m/e =

373 (9) [ $M^+$ ]; 357 (8); 307 (11); 289 (27); 288 (96); 219 (19); 197 (17); 167 (39); 164 (28); 149 (33); 138 (41); 122 (100); 121 (92); 119 (34); 109 (27); 97 (52); 91 (81); 78 (39); 77 (56); 69 (36); 43 (56).

# Beispiel 7

(5S,2Z,6E)-2,6-Dimethyl-2,3-epoxy-5-[(4-methoxyphenyl)-methoxy]-7-(2-methylthiazol-4-yl)hept-6-enol



AM-16  $C_{21}H_{27}NO_4S$

M = 389.50 g/mol

C 64.8% H 7.0% N 3.6% O 16.4% S 8.2%

Zu einer Suspension von ca. 80 mg aktiviertem, zerstoßenem 3 Å Molsieb in 2 ml abs.  $CH_2Cl_2$  werden bei -15 °C 20,5 mg (0,0874 mmol) D-(-)-Diisopropyl-Tartrat und 21,7 µl (7,28 µmol) Titanisopropoxid zugegeben.

Bei -30 °C werden 199 µl einer ca. 5,5M tert.-Butylhydroperoxid-Lsg. in Nonan langsam zutropft, 10 min nachgerührt. Anschließend wird die resultierende Reagenzlösung bei -30 °C tropfenweise mit 265 mg (0,7095 mmol) der aus Beispiel 5 erhaltenen Verbindung, gelöst in ca. 1 ml abs.  $CH_2Cl_2$ , versetzt und 3 d gerührt.

Zur Aufarbeitung der Reaktion wird zunächst mit 15 ml  $CH_2Cl_2$  verdünnt. 1 ml Wasser zugegeben und 30 min nachgerührt. Anschließend werden 1 ml (Brine/3N NaOH=1:1) zugegeben und wiederum 30 min kräftig nachgerührt. Nach Phasentrennung, zweimaliger Extraktion der wässrigen Phase mit  $CH_2Cl_2$ , Trocknung der vereinigten organischen Phasen über Magnesiumsulfat und Filtration über eine kurze Celite-Fritte wird im Vakuum eingeeengt. Chromatographie über eine 1:1-Hex/EE-Kieselgel-

säule erbrachte 235 mg (215 mg direkt und 20 mg ex  $^{13}\text{C}$ -Daten in der Mischfraktion) (85,04%) und noch 40 mg Gemischrest.

5  $^1\text{H}$ -NMR (400 MHz,  $\text{CDCl}_3$ ):  $\delta$  in ppm =

1.40 (s, 3H, 2-H); 1.76 (ddd,  $^2J_{4a, 4b} = 15.3$  Hz,  $J_{4a, 5} = 10.8$  Hz,  $J_{4a, 3} = 9.9$  Hz, 1H, 4a-H); 2.01 (ddd,  $^2J_{4b, 4a} = 14.8$  Hz,  $J_{4b, 3} = 3.4$  Hz,  $J_{4b, 5} = 2.5$  Hz, 1H, 4b-H); 2.04 (d,  $^4J_{6, 7} = 1.0$  Hz, 3H, 6-H); 2.71 (s, 3H, TAr- $\text{CH}_3$ ); 2.76 (dd,  $J_{3, 4a} = 9.9$  Hz,  $J_{3, 4b} = 3.5$  Hz, 1H, 3-H); 3.29 (dd,  $J_{1\text{-OH}, 1} = 10.8$  Hz,  $J_{1\text{-OH}, 1} = 2.0$  Hz, 1H, 1-OH); 3.45 (dd,  $^2J_{1a, 1b} = 11.8$  Hz,  $J_{1a, 1\text{-OH}} = 2.0$  Hz, 1H, 1a-H); 3.61 (t br,  $^2J_{1b, 1a} = 11.3$  Hz, 1H, 1b-H); 3.78 (s, 3H,  $\text{OCH}_3$ ); 3.99 (dd,  $J_{5, 4a} = 10.8$  Hz,  $J_{5, 4b} = 2.5$  Hz, 1H, 5-H); 4.22+4.51 (je d,  $^2J = 11.5$  Hz, 2H,  $\text{OCH}_2\text{Ar}$ ); 6.49 (d,  $^4J = 1.0$  Hz, 1H, 7-H); 6.86 (mc, 2H, Ar-H); 7.00 (s, 1H, TAr-H); 7.22 (mc, 2H, Ar-H).

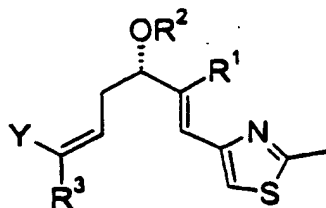
15  $^{13}\text{C}$ -NMR (100 MHz,  $\text{CDCl}_3$ ):  $\delta$  in ppm =

13.4 (C-18); 19.2 (C-11); 20.4 (C-19); 33.7 (C-4); 55.2 (C-17); 60.5 (C-1); 62.1 (C-3); 64.2 (C-2); 70.0 (C-12); 81.3 (C-5); 113.9 (C-15); 116.4 (C-9); 121.7 (C-7); 129.0 (C-14); 131.1 (C-13); 138.1 (C-6); 152.3 (C-8); 159.5 (C-16); 164.9 (C-10).

20

## Patentansprüche

## 1. Verbindungen der allgemeinen Formel II



(II)

5 worin  $R^1$   $C_1$ - $C_4$ -Alkyl,

$R^2$  eine beliebige chelatisierungsfähige Schutzgruppe,

$R^3$  Wasserstoff oder  $C_1$ - $C_4$ -Alkyl

10  $Y$   $CO_2R^4$ ,  $CHO$ ,  $CH=CH_2$  oder  $CH_2R^5$ ,

wobei

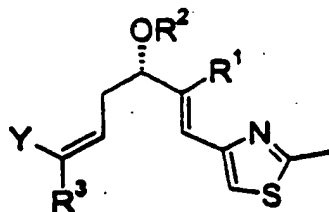
$R^4$  für  $C_1$ - $C_4$ -Alkyl oder eine gegebenenfalls substituierte Benzylgruppe,

$R^5$  für Halogen, Hydroxy, p-Toluolsulfonat oder  $-OSO_2B$  und

$B$  für  $C_1$ - $C_4$ -Alkyl oder  $C_1$ - $C_4$ -Perfluoralkyl steht,

15 bedeutet.

## 2. Verbindungen der allgemeinen Formel II



(II)

20

worin  $R^1$   $C_1$ - $C_4$ -Alkyl,

$R^2$  p-Methoxybenzyl

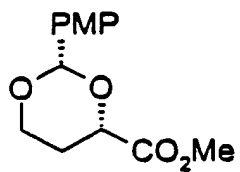
$R^3$  Methyl und

$Y$   $CO_2R^4$

25 mit  $R^4$   $C_1$ - $C_4$ -Alkyl

bedeutet.

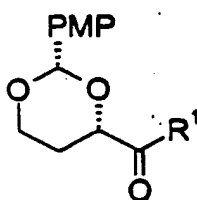
## 3. Verbindung der Formel IV



(IV)

5 worin PMP p-Methoxyphenyl bedeutet.

## 4. Verbindungen der Formel V



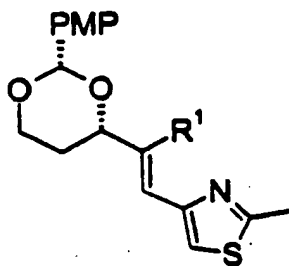
(V)

10

worin R<sup>1</sup> C<sub>1</sub>-C<sub>4</sub>-Alkyl und  
PMP p-Methoxyphenyl bedeutet.

## 5. Verbindungen der Formel VI

15



(VI)

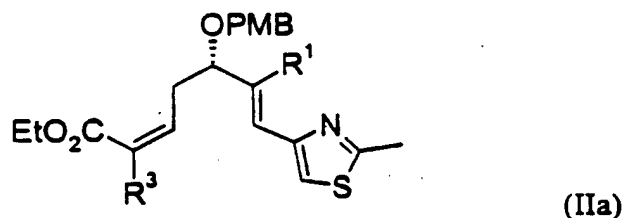
worin

20

R<sup>1</sup> C<sub>1</sub>-C<sub>4</sub>-Alkyl und  
PMP p-Methoxyphenyl bedeutet.



## 6. Verbindungen der Formel IIa



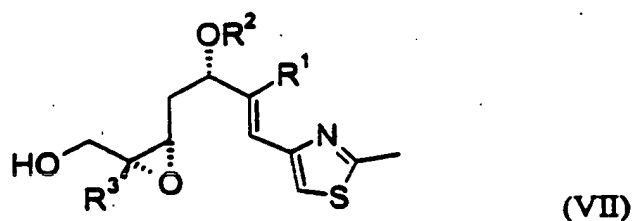
5    worin

R<sup>1</sup> C<sub>1</sub>-C<sub>4</sub>-Alkyl

PMB p-Methoxybenzyl bedeutet.

R<sup>3</sup> Wasserstoff oder C<sub>1</sub>-C<sub>4</sub>-Alkyl

## 10    7. Verbindungen der Formel VII



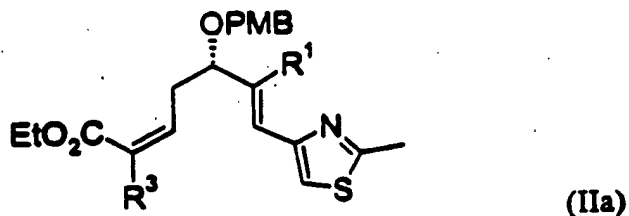
worin

15

R<sup>1</sup> C<sub>1</sub>-C<sub>4</sub>-AlkylR<sup>2</sup> eine chelatisierungsfähige Schutzgruppe darstellt.R<sup>3</sup> Wasserstoff oder C<sub>1</sub>-C<sub>4</sub>-Alkyl

## 8. Verfahren zur Herstellung der Verbindung der allgemeinen Formel IIa

20



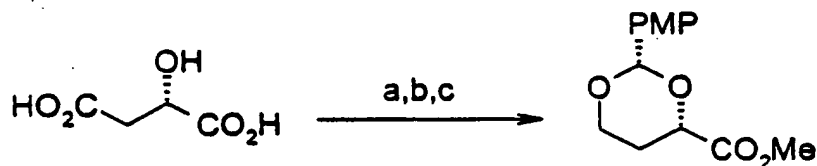
dadurch gekennzeichnet, daß

in einem Schritt 1

25

von (S)-Äpfelsäure (III) die α-Hydroxysäurefunktion mit Trifluoressigsäure/Methanol  
(a) in den Methylester überführt wird, die noch vorhandene Säurefunktion mit Diboran

in Tetrahydrofuran (b) zum Alkohol reduziert wird und der so erhaltene (S)-(-)-Methyl-2,4-Dihydroxyester mit p-Methoxybenzylidimethylacetal (c) in das cyclische Acetal (IV) überführt wird,

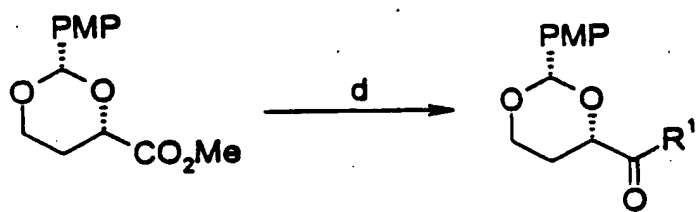


Verbindung III

Verbindung IV

in einem Schritt II

der Methylester mit einer C<sub>1</sub>-C<sub>4</sub>-Alkyl-metallorganischen Verbindung (d) in das entsprechende Alkylketon (V) überführt wird,

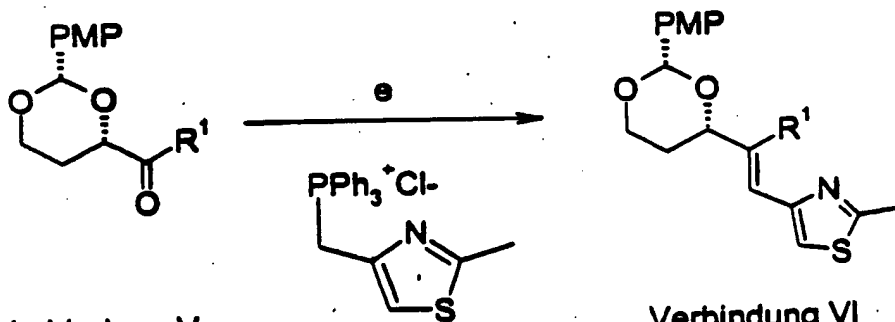


Verbindung IV

Verbindung V

in einem Schritt III

das (C<sub>1</sub>-C<sub>4</sub>)-Alkylketon (V) in einer Wittigreaktion mit dem Thiazolylphosphoniumsalz (e) umgesetzt und das E-Isomere (VI) abgetrennt wird und



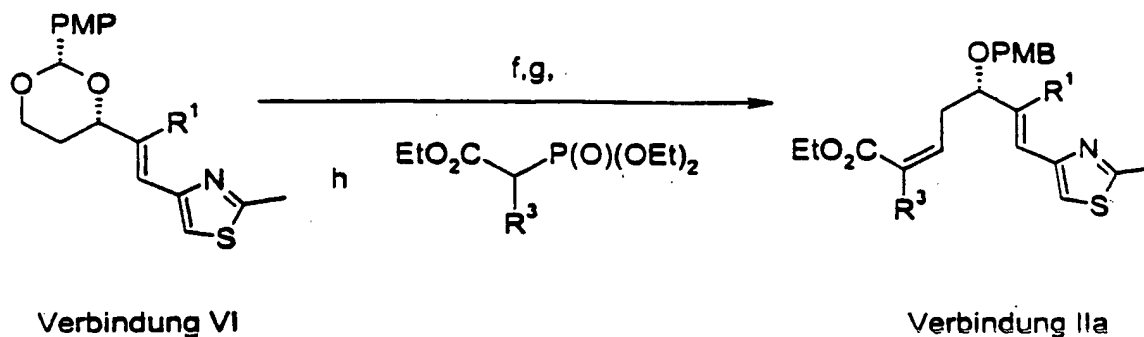
Verbindung V

Verbindung VI

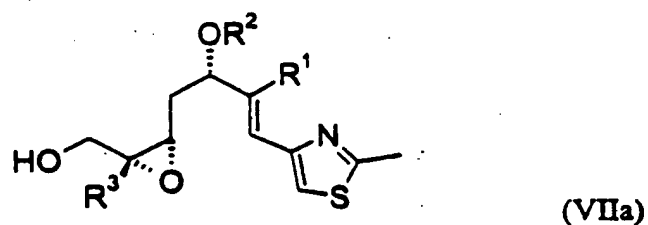
in einem Schritt IV

das E-Isomere (VI) durch Reaktion mit Diisobutylaluminiumhydrid (f), Swern-Oxidation (g) und Wadsworth-Horner-Emmons-Kondensation (h) mit Ethyl-2-Diethoxyphosphinylpropionat oder einem für R<sup>3</sup> entsprechenden Horner-Reagenz und Reinigung vom

E-Isomeren in den Z-  $\alpha,\beta$ -ungesättigten Ester (IIa) überführt wird.



5 9. Verbindungen der allgemeinen Formel VIIa



worin  $R^1$  Wasserstoff oder  $C_1$ - $C_4$ -Alkyl und

10  $R^2$  p-Methoxybenzyl

$R^3$  Wasserstoff oder  $C_1$ - $C_4$ -Alkyl

bedeuten.

10. Verwendung der Verbindungen gemäß Ansprüche 1, 2, 3, 4, 5, 6, 7 und/oder 9 zur  
15 Herstellung von Epothilon A und Epothilon B und deren Derivaten.

# INTERNATIONAL SEARCH REPORT

Int. Patent Application No.

PCT/EP 98/04462

## A. CLASSIFICATION OF SUBJECT MATTER

IPC 6 C07D277/30 C07D319/06 C07D417/06 C07D277/24 C07D493/04  
 //(C07D493/04, 313:00, 303:00)

According to International Patent Classification (IPC) or to both national classification and IPC

## B. FIELDS SEARCHED

Minimum documentation searched (classification system followed by classification symbols)

IPC 6 C07D

Documentation searched other than minimum documentation to the extent that such documents are included in the fields searched

Electronic data base consulted during the international search (name of data base and, where practical, search terms used)

## C. DOCUMENTS CONSIDERED TO BE RELEVANT

Category	Citation of document, with indication, where appropriate, of the relevant passages	Relevant to claim No.
A	DONGFANG MENG ET AL: "Studies toward a synthesis of epothilone A: Use of hydropyran templates for the management of acyclic stereochemical relationships" JOURNAL OF ORGANIC CHEMISTRY., vol. 61, no. 23, 1996, pages 7998-7999, XP002035361 EASTON US cited in the application see the whole document	1-10
A	DE 195 42 986 A (GESELLSCHAFT FÜR BIOTECHNOLOGISCHE FORSCHUNG) 22 May 1997 cited in the application see the whole document <div style="text-align: center;">-/--</div>	1-10

☒ Further documents are listed in the continuation of box C.

☒ Patent family members are listed in annex.

### \* Special categories of cited documents:

- \* "A" document defining the general state of the art which is not considered to be of particular relevance
- \* "E" earlier document but published on or after the international filing date
- \* "L" document which may throw doubts on priority claim(s) or which is cited to establish the publication date of another citation or other special reason (as specified)
- \* "O" document referring to an oral disclosure, use, exhibition or other means
- \* "P" document published prior to the international filing date but later than the priority date claimed

- \* "T" later document published after the international filing date or priority date and not in conflict with the application but cited to understand the principle or theory underlying the invention
- \* "X" document of particular relevance; the claimed invention cannot be considered novel or cannot be considered to involve an inventive step when the document is taken alone
- \* "Y" document of particular relevance; the claimed invention cannot be considered to involve an inventive step when the document is combined with one or more other such documents, such combination being obvious to a person skilled in the art.
- \* "A" document member of the same patent family

Date of the actual completion of the international search

4 November 1998

Date of mailing of the international search report

23/11/1998

Name and mailing address of the ISA

European Patent Office, P.B. 5818 Patentlaan 2  
 NL - 2200 HV Rijswijk  
 Tel. (+31-70) 340-2040, Tx. 31 651 epo nl,  
 Fax: (+31-70) 340-3016

Authorized officer

Henry, J

# INTERNATIONAL SEARCH REPORT

Int. Patent Application No.

PCT/EP 98/04462

## C.(Continuation) DOCUMENTS CONSIDERED TO BE RELEVANT

Category	Citation of document, with indication, where appropriate, of the relevant passages	Relevant to claim No.
P, X	<p>JOHANN MULZER ET AL: "Synthesis of the C(11)-C(20) segment of the cytotoxic macrolide epothilone B "</p> <p>TETRAHEDRON LETTERS.,</p> <p>vol. 38, no. 44, 3 November 1997, pages 7725-7728, XP002083207</p> <p>OXFORD GB</p> <p>see the whole document</p> <p>-----</p>	1-10

**Information on patent family members**

PCT/EP 98/04462

Patent document cited in search report	Publication date	Patent family member(s)	Publication date
DE 19542986 A	22-05-1997	WO 9719086 A	29-05-1997
		EP 0873341 A	28-10-1998

## INTERNATIONALER RECHERCHENBERICHT

Internationales Aktenzeichen

PCT/EP 98/04462

## A. KLASSIFIZIERUNG DES ANMELDUNGSGEGENSTANDES

IPK 6 C07D277/30 C07D319/06 C07D417/06 C07D277/24 C07D493/04  
/(C07D493/04,313:00,303:00)

Nach der Internationalen Patentklassifikation (IPK) oder nach der nationalen Klassifikation und der IPK

## B. RECHERCHIERTE GEBIETE

Recherchierte Mindestprüfstoff (Klassifikationssystem und Klassifikationssymbole)

IPK 6 C07D

Recherchierte aber nicht zum Mindestprüfstoff gehörende Veröffentlichungen, soweit diese unter die recherchierten Gebiete fallen

Während der internationalen Recherche konsultierte elektronische Datenbank (Name der Datenbank und evtl. verwendete Suchbegriffe)

## C. ALS WESENTLICH ANGESEHENE UNTERLAGEN

Kategorie	Bezeichnung der Veröffentlichung, soweit erforderlich unter Angabe der in Betracht kommenden Teile	Betr. Anspruch Nr.
A	DONGFANG MENG ET AL: "Studies toward a synthesis of epothilone A: Use of hydropyran templates for the management of acyclic stereochemical relationships" JOURNAL OF ORGANIC CHEMISTRY, Bd. 61, Nr. 23, 1996, Seiten 7998-7999, XP002035361 EASTON US in der Anmeldung erwähnt siehe das ganze Dokument	1-10
A	DE 195 42 986 A (GESELLSCHAFT FÜR BIOTECHNOLOGISCHE FORSCHUNG) 22. Mai 1997 in der Anmeldung erwähnt siehe das ganze Dokument	1-10

-/-



Weitere Veröffentlichungen sind der Fortsetzung von Feld C zu entnehmen



Siehe Anhang Patentfamilie

## \* Besondere Kategorien von angegebenen Veröffentlichungen:

\*A\* Veröffentlichung, die den allgemeinen Stand der Technik definiert, aber nicht als besonders bedeutsam anzusehen ist

\*E\* älteres Dokument, das jedoch erst am oder nach dem internationalen Anmeldedatum veröffentlicht worden ist

\*L\* Veröffentlichung, die geeignet ist, einen Prioritätsanspruch zweifelhaft erscheinen zu lassen, oder durch die das Veröffentlichungsdatum einer anderen im Recherchenbericht genannten Veröffentlichung belegt werden soll oder die aus einem anderen besonderen Grund angegeben ist (wie ausgeführt)

\*O\* Veröffentlichung, die sich auf eine mündliche Offenbarung, eine Benutzung, eine Ausstellung oder andere Maßnahmen bezieht

\*P\* Veröffentlichung, die vor dem internationalen Anmeldedatum, aber nach dem beanspruchten Prioritätsdatum veröffentlicht worden ist

\*T\* Spätere Veröffentlichung, die nach dem internationalen Anmeldedatum oder dem Prioritätsdatum veröffentlicht worden ist und mit der Anmeldung nicht kollidiert, sondern nur zum Verständnis des der Erfindung zugrundeliegenden Prinzips oder der ihr zugrundeliegenden Theorie angegeben ist

\*X\* Veröffentlichung von besonderer Bedeutung; die beanspruchte Erfindung kann allein aufgrund dieser Veröffentlichung nicht als neu oder auf erfinderischer Tätigkeit beruhend betrachtet werden

\*Y\* Veröffentlichung von besonderer Bedeutung; die beanspruchte Erfindung kann nicht als auf erfinderischer Tätigkeit beruhend betrachtet werden, wenn die Veröffentlichung mit einer oder mehreren anderen Veröffentlichungen dieser Kategorie in Verbindung gebracht wird und diese Verbindung für einen Fachmann naheliegend ist

\*A\* Veröffentlichung, die Mitglied derselben Patentfamilie ist

Datum des Abschlusses der internationalen Recherche

4. November 1998

Abschließdatum des internationalen Recherchenberichts

23/11/1998

Name und Postanschrift der internationalen Recherchenbehörde

Europäisches Patentamt, P.B. 5818 Patentstr. 2  
NL - 2280 HV Rijswijk  
Tel. (+31-70) 340-2040, Tx. 31 651 epo nl,  
Fax: (+31-70) 340-3016

Bevollmächtigter Beauftragter

Henry, J

# INTERNATIONALER RECHERCHENBERICHT

Int. : Ionales Aktenzeichen

PCT/EP 98/04462

## C. (Fortsetzung) ALS WESENTLICH ANGESEHENE UNTERLAGEN

Kategorie	Bezeichnung der Veröffentlichung, soweit erforderlich unter Angabe der in Betracht kommenden Teile	Betr. Anspruch Nr.
P, X	<p>JOHANN MULZER ET AL: "Synthesis of the C(11)-C(20) segment of the cytotoxic macrolide epothilone B "</p> <p>TETRAHEDRON LETTERS..</p> <p>Bd. 38, Nr. 44, 3. November 1997, Seiten 7725-7728, XP002083207</p> <p>OXFORD GB</p> <p>siehe das ganze Dokument</p> <p>-----</p>	1-10



# INTERNATIONALER RECHERCHENBERICHT

Angaben zu Veröffentlichungen, die zur selben Patentfamilie gehören

Int. Bionales Aktenzeichen

PCT/EP 98/04462

Im Recherchenbericht angeführtes Patentdokument	Datum der Veröffentlichung	Mitglied(er) der Patentfamilie	Datum der Veröffentlichung
DE 19542986 A	22-05-1997	WO 9719086 A	29-05-1997
		EP 0873341 A	28-10-1998
-----			

99-132130/11  
SCHERING AG

B03

SCHD 97.07.16  
WO 9903848-A1

97.07.16 97DE-1031316 (99.01.28) C07D 277/30, 277/24, 319/06,  
417/06, 493/04 (C07D 303:00, 313:00, 493/04)

New thiazolyl-alkadienol and -epoxide derivatives - used as intermediates for diastereomerically pure epothilone compounds having fungicidal and cytotoxic activity (Ger)

C99-038661 N(AL AM AT AU AZ BA BB BG BR BY CA CH CN CU  
CZ DK EE ES FI GB GE GH GM HR HU ID IL IS JP KE  
KG KP KR KZ LC LK LR LS LT LU LV MD MG MK  
MN MW MX NO NZ PL PT RO RU SD SE SG SI SK SL  
TJ TM TR TT UA UG US UZ VN YU) R(AT BE CH CY  
DE DK EA ES FI FR GB GH GM GR IE IT KE LS LU  
MC MW NL OA PT SD SE SZ UG ZW)

Addnl. Data: MULZER J, MANTOULIDIS A  
98.07.16 98WO-EP04462

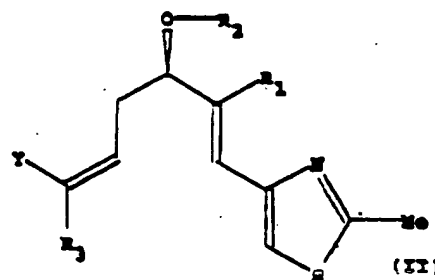
Protected thiazolyl-alkadienol derivatives of formula (II) and thiazolyl-epoxide compounds of formula (VII) are new.

$R_1$  = 1-4C alkyl;  
 $R_2$  = chelate forming protecting group;  
 $R_3$  = H or 1-4C alkyl;

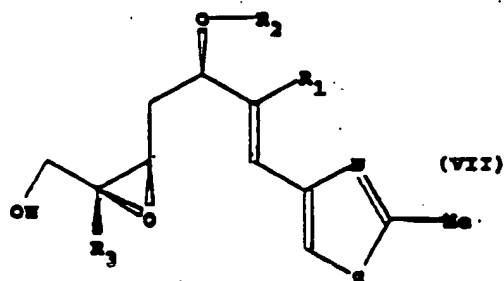
B(7-F1) .1

B0561

$Y = \text{COOR}_4, \text{CHO}, \text{CH}=\text{CH}_2 \text{ or } \text{CH}_2\text{R}_4$ ;  
 $R_4$  = 1-4C alkyl or optionally substituted benzyl;  
 $R_1$  = halo, OH, p-toluenesulphonate or  $-\text{OSO}_2\text{B}$ ;  
 $B$  = 1-4C alkyl or 1-4C perfluoroalkyl;  
in (VII)  $R_1$  can also be H if  $R_2$  = p-methoxybenzyl (PMB).



WO 9903848-A+



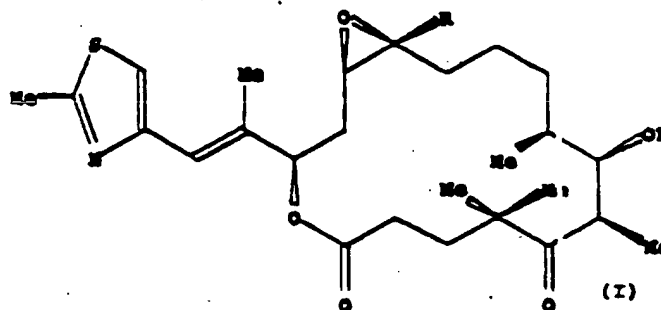
1,3-Dioxan derivative intermediates of formulae (IV)-(VI) (see 'Preparation') are also new.

#### MORE SPECIFICALLY

$R_2$  = PMB;  
 $R_3$  = Me;  
 $Y = \text{COOR}_4$ ;  
 $R_4$  = 1-4C alkyl, especially Et.

#### USE

The use of (II) and (VII) is claimed as intermediates for epothilone A, epothilone B and their derivatives. Epothilone A of formula (I;  $R = \text{H}$ ) and epothilone B of formula (I;  $R = \text{Me}$ ) are macrocyclic natural products having fungicidal and cytotoxic activity, including in vitro activity against breast and stomach tumour cell lines; see DE19542986-A1 and DE4138042-C1.



WO 9903848-A+/1

99-132130/11

B0562

#### ADVANTAGE

(II) and (VII) can be prepared in diastereomerically pure form and converted into diastereomerically pure (I). (I) can be prepared from naturally occurring (S)-malic acid in 10 stages via (II), whereas the prior art synthesis of (I) has 15 stages.

#### PREPARATION

Claimed preparation of (II;  $R_4 = \text{PMB}$ ;  $Y = \text{COOEt}$ ) (II') from (S)-malic acid of formula (III) involves:

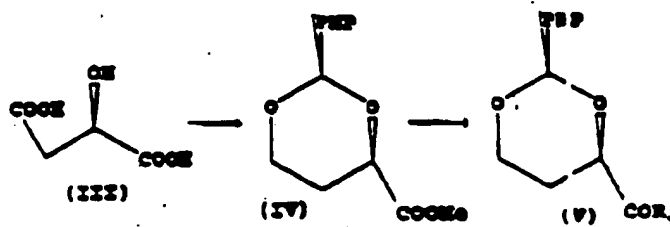
(1) converting the  $\alpha$ -hydroxyacid function into the methyl ester with trifluoroacetic acid/methanol, reducing the other acid function to the alcohol using diborane in THF and converting the obtained (S)-(-)-methyl-2,4-dihydroxy ester into the cyclic acetal of formula (IV) using PMB dimethyl acetal;

(2) converting (IV) into the corresponding alkyl ketone of formula (V) using a 1-4C alkyl organometallic compound;

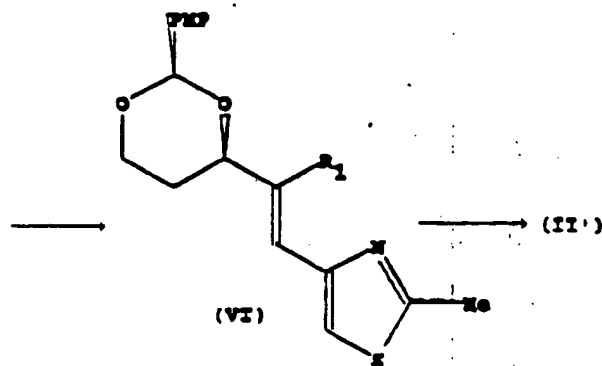
(3) subjecting (V) to Wittig reaction with (2-methylthiazol-4-yl)methyl-triphenylphosphonium chloride and separating the (E) isomer product of formula (VI); and

(4) subjecting (VI) to reaction with diisobutyl aluminium hydride

(DIBAL), Swern oxidation and Wadsworth-Horner-Emmle as condensation with ethyl 2-diethoxyphosphinylpropionate (r a corresponding Horner reagent for  $R_1$  and purifying the  $Z$ - $\beta$ -unsaturated ester (II').



WO 9903848-A+/2



(II') can then be:  
 converted into other compounds (II) by conventional reactions (e.g. reduction with DIBAL to give  $Y = CHO$  followed by Wittig reaction to give  $Y = CH=CH_2$ ); or  
 converted into the corresponding compound (VII) by reduction to the corresponding  $\alpha,\beta$ -unsaturated alcohol, using 3 equivalents of DIBAL

in THF at  $-20^\circ C$ , followed by diastereo-selective epoxidation using 4 Å molecular sieve, titanium tetrakisopropylate, (D)-(-)-diisopropyl tartrate and tert. butyl hydroperoxide for 3 hours at  $-30^\circ C$ .

#### EXAMPLE

A mixture of 30 ml  $CH_2Cl_2$  and 102  $\mu$ l oxalyl chloride was cooled to  $-78^\circ C$ , treated slowly under Ar with 187  $\mu$ l DMSO, stirred for 10 minutes, treated slowly with a solution of 354 mg (38.41) 3-(4-methoxybenzyloxy)-4-methyl-5-(2-methylthiazol-4-yl)-pent-4-enol in 5 ml  $CH_2Cl_2$ , stirred for 10 minutes, treated with 1 ml Hunig's base and stirred for 15 minutes.

After removal of the cooling bath, the solution was diluted with hexane/EtOAc and quenched with ice-water. The organic phase was dried, filtered and evaporated to give a crude aldehyde product.

A mixture of 25 ml THF, 303.5 mg triethyl 2-phosphonopropionate and 842 mg 18-crown-6 was cooled to  $-78^\circ C$ , treated slowly with a solution of 239 mg potassium hexamethyl disilazide in 5 ml THF, stirred for 10 minutes, treated with a solution of the crude aldehyde in 10 ml THF and reacted until conversion was complete by TLC (ca. 30 minutes).

After removing the cooling bath, the reaction was quenched with

WO 903848-A/3

99-132130/11

$NH_4Cl$  solution. The organic phase was worked up to give, after chromatographic purification, 377 mg of ethyl (5S,2Z,6E)-2,6-dimethyl-5-(4-methoxybenzyloxy)-7-(2-methylthiazol-4-yl)-hepta-2,6-dienoate as an isomer mixture in ratio 6.2: 1. (DAF)  
 (33pp2400DwgNo.0/0)

B0563

WO 903848-A/4

99-132131/11

B04 D16 J04 (B02)

JBL3- 97.07.21

JBL SCI INC

\*WO 9903849-A1

98.07.17 98US-118220(+97US-053339) (99.01.28) COTD 277/64, 263/62, 277/66, 417/06, COTF 9/653, 9/6541, COTB 11/04, 17/00, G01N 33/58

New dibenzazole derivatives - useful as fluorescent compounds in biological assays (Eng)

C99-838662 N(AU CA JP NZ) R(AT BE CH CY DE DK ES FI FR GB GR IE IT LU MC NL PT SE)

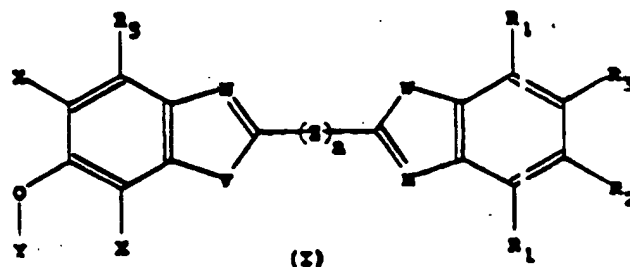
Addnl. Data: BROWN L R, XU C

98.07.21 98WO-US15080

Dibenzazole compounds of formula (I) and (II) are new:

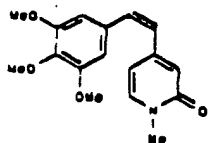
B(4-E1, 4-N4, 6-E1, 6-F1, 11-C7A5, 11-C7B3, 12-K4A) D(5-H9) J(4-B1) .7

B0564



WO 903849-A+

Koichi; Ohsumi, Koji; Nakagawa, Ryusuke; Fukuda, Toshihiro; Nihei, Yukio; Suga, Yasuyo; Akiyama, Yukio; Tsuji, Takashi (Pharmaceutical Research Laboratories, Ajinomoto Co. Inc., Kawasaki-ku, Kawasaki, Japan 210-8681). *Biomg. Med. Chem. Lett.* 1998, 8(23), 3371-3374 (Eng). Elsevier Science Ltd. A series of B-ring modified combretastatin analogs were synthesized and their inhibitory activity against microtubule assembly, cytotoxic activity against Colon 26 adenocarcinoma cancer cell line were evaluated. Among these, pyridone deriv. (I) showed strong antimitotic activity and cytotoxicity, along with excellent water-solubility.



tin analogs were synthesized and their inhibitory activity against microtubule assembly, cytotoxic activity against Colon 26 adenocarcinoma cancer cell line were evaluated. Among these, pyridone deriv. (I) showed strong antimitotic activity and cytotoxicity, along with excellent water-solubility.

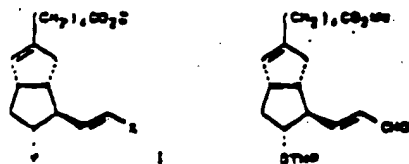
130:139196s Synthesis of choline chloride with self-catalysis. Song, Chengying; Zhao, Jianhong; Wang, Liucheng; Xu, Haisheng (Chemical Engineering Dep., Zhengzhou University Technology, Peop. Rep. China 450002). *Huaxue Panying Gongcheng Yu Gongyi* 1998, 14(4), 431-435 (Ch). Zhejiangsheng Chubanshui Maoyi Gongsi. Choline chloride showed good self-catalyzing behavior in its prepn. from chloroethanol and trimethylamine. Under optimal conditions the yield of choline chloride was over 99%.

130:139199r Synthesis and evaluation of 2-amino-6-fluoro-9-(2-hydroxyethoxymethyl)purine esters as potential prodrugs of acyclovir. Kim, Dae-Kee; Lee, Namkyu; Im, Guang-Jin; Kim, Hun-Taek; Kim, Kye-H. (Life Science Research Center, SK Chemicals, Kyungki, 440-745 S. Korea). *Biomg. Med. Chem.* 1998, 6(12), 2525-2530 (Eng). Elsevier Science Ltd. 2-Amino-6-fluoro-9-(2-hydroxyethoxymethyl)purine (I) and its ester deriva. were synthesized as potential prodrugs of acyclovir, and were evaluated for their oral acyclovir bioavailability in rats and in vivo antiviral efficacy in HSV-1-infected mice. Treatment of 2-amino-6-chloro-9-(2-hydroxyethoxymethyl)purine with trimethylamine in THF/DMF (4:1) followed by a reaction of the resulting trimethylammonium chloride salt with KF in DMF gave I in 78% yield. Esterification of I with an appropriate acid anhydride (Ac<sub>2</sub>O, EtCO<sub>2</sub>H, (n-PrCO<sub>2</sub>H, or (i-PrCO<sub>2</sub>H) in DMF in the presence of a catalytic amt. of DMAP at room temp. produced the esters in 90-98% yields. Of the prodrugs tested in rats, the isobutyrate achieved the highest mean urinary recovery of acyclovir (51%) that is 3.7-fold higher than that of acyclovir (9%) and comparable to that of valacyclovir (50%). The prodrug isobutyrate protected dose-dependently the mortality of HSV-1-infected mice, and the group treated with the isobutyrate at a dose of 400 mg/kg showed the longest mean survival day (14.6 ± 3.1 days) (mean ± S.D.).

130:139200m Studies on phytochemicals: futeamide from Piper longum. Das, Biswanath; Kashinatham, A. (Organic Chemistry Division, Indian Institute of Chemical Technology, Hyderabad, 500 007 India). *Fitoterapia* 1998, 69(6), 548 (Eng). Indena SpA. Futeamide was isolated from Piper longum.

130:139201a Theoretical studies on the tautomeric properties of diamino-5-formamidopyrimidines. Cysowski, Piotr (Dep. Clinical Biochem., Ludwik Rydymer Univ. Medical Sch., 85092 Bydgoszcz, Pol.). *Z. Naturforsch. A: Biosci.* 1998, 53(11/12), 1027-1036 (Eng). Verlag der Zeitschrift fuer Naturforschung. The results of their geometry prediction of formamidopyrimidine(fapy)-adenine and fapy-guanine tautomers are presented. Among 54 potential tautomeric structures of fapy-adenine, the most stable structure corresponds to the diamine tautomer. The solvent effect has insignificant influence on the fapy-adenine tautomers succession. The fapy-guanine has 173 potential isomers. There are 3 most stable tautomers of this guanine deriv., which may exchange the order depending on the polarity of the environment. In vapor, the most probable is the 4-enol 6-keto diamine tautomer, while in water environment the 4,6-diketo diamine isomer is dominant. A more polar solvent stabilizes more polar fapy-guanine tautomers.

130:139202p Preparation of 15-deoxyneocarbyclins having high affinity to prostacyclin receptors. Watanabe, Yasuyoshi; Suzuki, Masaaki; Hazato, Atruo; Watanabe, Yukiko (Foundation for Scientific Technology Promotion, Japan) Jpn. Kokai Tokkyo Koho JP 11 08,764 (89 08,764) (Cl. C07C59/54), 12 Jan 1999, Appl. 97/160,320, 17 Jun 1997; 8 pp. (Japan). Title compd. I (X = CH<sub>2</sub>RC<sub>6</sub>H<sub>4</sub>Me; Y =

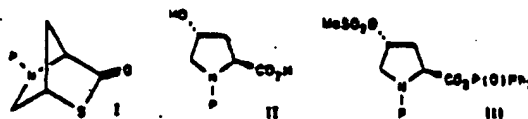


OH; Z = H; R = C<sub>1-6</sub> hydrocarbon) are prepd. by reaction of formylpentalenepentanoates II with Ph<sub>3</sub>P-CHCHO. reaction of formylpentalenepentanoates I (X = CHO; Y = OTHP; Z = Me) with Me chloroformate, reaction of methoxycarbonylpentalenepentanoates I (X = CH<sub>2</sub>OCO<sub>2</sub>Me; Y = OTHP; Z = Me) with (PhSO<sub>2</sub>)<sub>2</sub>CHRC<sub>6</sub>H<sub>4</sub>Me (R =

C<sub>1-6</sub> hydrocarbon), elimination of phenylpentalenepentanoic acid I (X = CH<sub>2</sub>ClSO<sub>2</sub>Ph; R = C<sub>6</sub>H<sub>4</sub>Me; Y = OTHP; Z = Me; R = same as above), and hydrolysis of carboxylic acid I (X = CH<sub>2</sub>RC<sub>6</sub>H<sub>4</sub>Me; Y = OH; Z = Me; R = same as above). II was reacted with Ph<sub>3</sub>P-CHCHO in benzene under reflux for 20 h, reacted with CCl<sub>4</sub>-H<sub>2</sub>O and NaBH<sub>4</sub> in MeOH for 5 min, condensed with Me chloroformate in CH<sub>2</sub>Cl<sub>2</sub> in the presence of DMAP for 4 h, condensed with m-(PhSO<sub>2</sub>)<sub>2</sub>CHRC<sub>6</sub>H<sub>4</sub>Me in the presence of tris-(dibenzylideneacetone)dipalladium(0)-chloroform addn. compd. and 1,2-bis(diphenylphosphino)ethane in THF for 15 h, eliminated with Mg in MeOH for 3 h, and hydrolyzed with NaOH in MeOH at room temp. for 12 h to give 15-deoxy-16-m-tolyl-17,18,19,20-tetranorcarboxycyclin showing high affinity to prostacyclin receptors.

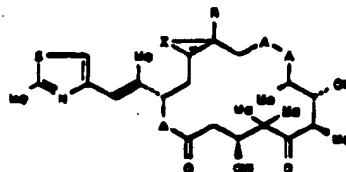
130:139203q Preparation of F-18 labeled prostaglandins as antitumor agents and tumor diagnostic agents. Watanabe, Yasuyoshi; Suzuki, Masaaki; Harada, Takashi; Suzuki, Masaaki; Hanzato, Atruo (Foundation for Scientific Technology Promotion, Japan) Jpn. Kokai Tokkyo Koho JP 11 08,778 (89 08,778) (Cl. C07C405/00), 12 Jan 1999, Appl. 97/160,321, 17 Jun 1997; 4 pp. (Japan). (7E)-N-[(4-(fluoromethyl)phenyl)methyl]-9-oxo-octanoic acid (I) are prepd. by reaction of 1-[(7E)-1,9-dioxo-octanoic acid-1-yl]-oxy)-2,5-pyrrolidinedione (II) with p-(1<sup>18</sup>F)fluorobenzylamine. II was treated with p-(1<sup>18</sup>F)fluorobenzylamine in acetonitrile at room temp. for 15-20 min to give 93% I.

130:139204r Process for synthesizing carbanion side chain intermediates. Brands, Karol M. J.; Williams, John M.; Delling, Ulf H.; Johnson, Ronald B.; Davies, Anthony J.; Cottrell, Ian F.; Cameron, Mark; Ashwood, Michael S. (Merek & Co. Inc., USA) PCT Int. Appl. WO 99 02,681 (Cl. C07D485/08), 21 Jan 1999, GB Appl. 98/10,184, 13 May 1999; 39 pp. (Eng). A process of synthesizing a compd. of formula



(I) (P = protecting group) is described. A compd. of formula (II) is reacted with diphenylphosphinic chloride to activate the carboxylic acid group, and then reacted with methanesulfonyl chloride to produce a compd. of formula (III). III is then reacted with a group II metal sulfide source in water to produce I.

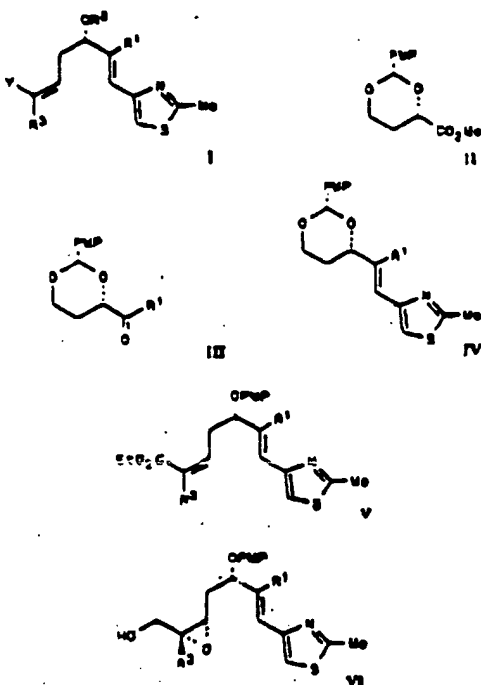
130:139206e Syntheses of epothilone derivatives and intermediates for use in treatment of hyperproliferative cellular disease. Vile, Gregory D.; Bazzilieri, Robert M.; Kim, Seong-hoon; Johnson, James A. (Bristol-Myers Squibb Company, USA) PCT Int. Appl. WO 99 02,514 (Cl. C07D313/00), 21 Jan 1999, US Appl. 67,324, 4 Dec 1997; 70 pp. (Eng). Syntheses of epothilone deriva. (I) (R = H, Me; A = CH<sub>2</sub>,



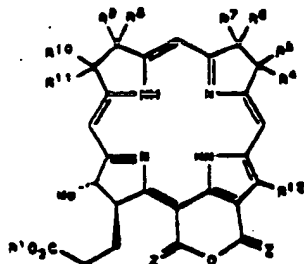
O, NH; X = H when bond double, α-oxo when bond single) and intermediates for use in treatment of hyperproliferative cellular disease are described.

130:139207r Method for the production and use of thiazole derivatives. Mulser, Johann; Manioudia, Andreas (Schering Aktiengesellschaft, Germany) PCT Int. Appl. WO 99 08,848 (Cl. C07D277/30), 28 Jan 1999, DE Appl. 19,731,316, 16 Jul 1997; 33 pp. (Ger). The invention relates to thiazole deriva. I (R<sup>1</sup> = C<sub>1-6</sub>-alkyl; R<sup>2</sup> = a protective group with chelating power, e.g. CH<sub>2</sub>C<sub>6</sub>H<sub>4</sub>OMe-4; R<sup>3</sup> = H, C<sub>1-6</sub>-alkyl, esp. Me; Y = CO<sub>2</sub>R<sup>4</sup>, CHO, CH=CH<sub>2</sub>, CH<sub>2</sub>CH<sub>2</sub>; R<sup>5</sup> = C<sub>1-6</sub>-alkyl, (un)substituted benzyl group; R<sup>6</sup> = halogen, hydroxy, p-toluenesulfonate, OSO<sub>2</sub>B; B = C<sub>1-6</sub>-alkyl, C<sub>1-6</sub>-perfluoroalkyl). Intermediates II (PMP = C<sub>6</sub>H<sub>4</sub>OMe-4), III, IV and V are also claimed. Thus, I (R<sup>1</sup> = R<sup>2</sup> = Me, R<sup>3</sup> = CH<sub>2</sub>C<sub>6</sub>H<sub>4</sub>OMe-4), was prepd. from ketone III (R<sup>1</sup> = Me) via Wittig reaction with (2-methyl-1,3-thiazol-4-yl)methyltriphenylphosphonium bromide, regioselective and deprotection of thiazole IV (R<sup>1</sup> = Me), followed by oxidn. and Horner-Emmons reaction with (EtO)<sub>2</sub>POCHMeCO<sub>2</sub>Et. I (R<sup>1</sup> = R<sup>2</sup> = Me, R<sup>3</sup> = CH<sub>2</sub>C<sub>6</sub>H<sub>4</sub>OMe-4) was converted to advanced intermediate VI (R<sup>1</sup> = R<sup>2</sup> = Me, R<sup>3</sup> = CH<sub>2</sub>C<sub>6</sub>H<sub>4</sub>OMe-4) via redn. with DIBAL-H in heptane/THF followed by stereoselective epoxidn. with Me<sub>2</sub>CO<sub>2</sub>H in CH<sub>2</sub>Cl<sub>2</sub> using catalytic Ti(OCHMe<sub>2</sub>)<sub>4</sub> and diisopropyl (-)-8-oxo-2-oxabicyclo[3.2.1]octane-8-carboxylate. These deriva. are produced without diastereomers and are used in the prodn. of epothilones A and B and their deriva.

\*



130: 139207a Synthesis of isoimide of chlorins and bacteriochlorins and their use for diagnosis and treatment of cancer. Pandey, Ravindra K.; Koryev, Andrei N.; Dougherty, Thomas J. (Health Research, Inc., USA) U.S. US 6,884,035 (Cl. 540-472; C07D497/22). 26 Jan 1999, US Appl. 613,134, 6 Mar 1999; 16 pp., Cont.-in-part of U.S. Ser. No. 613,134. (Eng.) Chlorins and bacteriochlorins (I) (Z = O,



NR14; R<sup>14</sup> = (unsubstituted alkyl; R<sup>1</sup> = amino acid, polyamine, polyether, OR13; R13 = alkyl; R<sup>2</sup> = -H, OH, alkyl, alkylene, -OR16; R<sup>16</sup> = H, alkyl, aryl, carbonyl contg. group, provided that R<sup>2</sup> may be taken together with R<sup>4</sup> to form =O; R<sup>3</sup> may be taken together with R<sup>7</sup> to form =O; R<sup>5</sup> may be taken together with R<sup>6</sup> to form =O; R<sup>10</sup> may be taken together with R<sup>11</sup> to form =O; and R<sup>8</sup> and R<sup>7</sup> may together form a chem. bond and R<sup>9</sup> and R<sup>11</sup> may together form a chem. bond; and R<sup>12</sup>

= H, alkyl; provided that if one Z = O, the other Z = NR14) were prepd. for use in photodynamic therapy of tumors. Thus, I (Z = N(CH2)5Me; R<sup>1</sup> = CH2CH2Me; R<sup>2</sup> =  $\beta$ Et; R<sup>3</sup> =  $\alpha$ H; R<sup>4</sup> =  $\alpha$ Me; R<sup>7</sup> =  $\beta$ H; R8, R11 = bond; R<sup>9</sup> = OCMs; R<sup>10</sup> = Me) (II) was prepd. from bacteriochlorin a Pr ester by reaction with 1-hexylamine followed by reaction with 1,3-dicyclohexylcarbodiimide. II efficacy for in vivo photodynamic therapy was evaluated RIF tumor model.

For papers of related interest see also Section:

- 1 133442v Oligonucleotide analogs: an overview.
- 133634j Inactivation of O<sup>6</sup>-Alkylguanine-DNA Alkyltransferase. 1. Novel O<sup>6</sup>-(Hetaryl)methylguanines Having Basic Rings in the Side Chain.
- 5 136356a 2-Fluoroabacis acid analogs: Their synthesis and biological activities.
- 136373d Characterization of antibody models of the tyrosine receptor for use in high-throughput screening.
- 10 136322e Absolute stereostructures of novel cytotoxic metabolites, gymnastatins A-E, from a *Gymnascella* species separated from a Halichondria sponge.
- 11 136249w New Bioactive Flavonoids and Stilbenes in Cane Resin Insecticide.
- 136359v Isolation of karwinol A from coyotillo (*Karwinskii humboldtiana*) fruits.
- 136359w Antifungal activity of *Ficus racemosa* leaf extract and isolation of the active compound.
- 136572y Enantioselective Semisynthesis of (+)-Almuhayolide A, a Novel Natural Heptelide Inhibitor of the Mammalian Mitochondrial Respiratory Chain.
- 136583e Nordihydrocapsiate, a New Capsinoid from the Fruits of a Nonpungent Pepper, *Capicum annum*.
- 136588f Two glutaric acid derivatives from olives.
- 136587g Two linear acetogenins from *Coniostylinus gaudieri*.
- 136589e Butanolides as a common feature of *Lryantheri laticellula* and *Virela surinamensis*.
- 136593a Severibuzine, a new quinoline-2,4-dione and other constituents from *Severinia buxifolia*.
- 136595a Structure elucidation of anisoptocins, two new heptahydroxylated C<sub>11</sub> acetogenins by high-energy collision-induced dissociation tandem mass spectrometry.
- 20 136242f Professor Sir Derek Barton.
- 22 Physical Organic Chemistry.
- 23 136065w Synthesis and structure of linear and cyclic oligomers of 3-hydroxybutanoic acid with specific sequences of (R)- and (S)-configurations.
- 30 136457a Oxidation of aromatic monoterpenes with hydrogen peroxide catalyzed by Mn(III) porphyrin complexes.
- 76 147534m Thermal stability of robust unsymmetrical copper porphyrins with multiple diphenylamine and nitro substituents.

For patents of related interest see also Section:

- 33 136769p Preparation of cyclin dependent kinase inhibiting purine derivatives.
- 63 144181k Water soluble polymer-tacrolimus conjugated compounds and process for preparing the same.

## 27-HETEROCYCLIC COMPOUNDS (ONE HETERO ATOM)

This section includes the synthesis, purification, stabilization, reactions, and determination of molecular structure of cyclic compounds that contain two or more carbon atoms in a single ring and no more than one hetero atom (nitrogen, oxygen, sulfur, and the halogens), as well as spiro compounds with one hetero atom in each ring. Physical organic studies are included in Section 23. Studies on the preparation, processing, and properties of caprolactams, ethylene oxide, propylene oxide, and similar common monomers, unless a non-polymer application is explicitly stated, are included in Section 35 or 36. Industrial manufacturing and processing of compounds normally found in this section are included in Section 48.

130: 139208v Chemistry of indoles: new reactivities of indole nucleus and its synthetic applications. Murakami, Yasuaki (Sch. Pharmaceutical Sciences, Tebu Univ., Miyama, Fushiki, Chiba, Japan 274-8510). *Yokohama Zasshi* 1999, 119(1), 35-60 (Japan). Pharmaceutical Society of Japan. This review summarizes the authors' studies on the development of new reactivities of the indole nucleus and on its application in synthesis with 50 refs. These studies involve the following five main subjects: (1) The Vilsmeier-Haack reaction was applied to 1,2,3,4-tetrahydrocarbazole and its N-alkyl compds. The conditions and the mechanisms of the formation of three kinds of products obtained from the latter compd. were clarified, and among the three products, 1,3-dimethylcarbazole-3-aldehyde was useful for the synthesis of olivacine and ellipticine. (2) The Fischer indole synthesis of various 2-substituted phenylhydrazones was examined in detail and it was found that the Fischer indole synthesis of 2-sulfonylphenylhydrazones served a new and convenient method for the synthesis of 1-oxygenated indoles. This reaction was applied to the synthesis of eudistomine A. (3) The reactivities of Et indole-2-carboxylate for acylation and bromi-

nation were also studied, and the use of this compd. as a starting material for the synthesis of 4-methoxy- $\beta$ -carboline was successfully investigated. (4) Acylation of Et pyrrole-2-carboxylate was concisely studied and this reaction was applied to the synthesis of benzene ring-substituted indoles and benzimidazoles involving eudistomine. (5) Two kinds of method for the debenzoylation of N-benzoylindoles were developed using either AlCl<sub>3</sub>-benzene or Me LiH<sub>2</sub> and they are complementary with each other.

130: 139209w Recent advances in control of absolute stereochemistry in Diels-Alder cycloadditions of 2-pyrenes. Porter, Gary H.; Bull, D. Scott (Department of Chemistry, The Johns Hopkins University, Baltimore, MD 21218 USA). *Recent Adv. Org. Chem.* 1997, 1, 259-271 (Eng). Transworld Research Network. This review of recent progress in controlling the abs. stereochem. of bicyclic lactone

**This Page is Inserted by IFW Indexing and Scanning  
Operations and is not part of the Official Record**

**BEST AVAILABLE IMAGES**

Defective images within this document are accurate representations of the original documents submitted by the applicant.

Defects in the images include but are not limited to the items checked:

- ☐ **BLACK BORDERS**
- ☐ **IMAGE CUT OFF AT TOP, BOTTOM OR SIDES**
- ☐ **FADED TEXT OR DRAWING**
- ☐ **BLURRED OR ILLEGIBLE TEXT OR DRAWING**
- ☐ **SKEWED/SLANTED IMAGES**
- ☐ **COLOR OR BLACK AND WHITE PHOTOGRAPHS**
- ☐ **GRAY SCALE DOCUMENTS**
- ☐ **LINES OR MARKS ON ORIGINAL DOCUMENT**
- ☐ **REFERENCE(S) OR EXHIBIT(S) SUBMITTED ARE POOR QUALITY**
- ☐ **OTHER:** \_\_\_\_\_

**IMAGES ARE BEST AVAILABLE COPY.**

**As rescanning these documents will not correct the image problems checked, please do not report these problems to the IFW Image Problem Mailbox.**